

مروی بر ویژگی نانوذرات اکسید آهن با پوشش‌های متفاوت در کاربردهای زیست‌پزشکی

امیرحسین حقیقی^{*}^۱، سارا طاهری نژاد طبی^۲، زهرا بابایی^۳

۱. گروه مهندسی پلیمر دانشگاه آزاد اسلامی واحد شیراز، شیراز، ایران

۲. گروه مهندسی شیمی و پلیمر، دانشگاه بیزد، بیزد، ایران

۳. گروه مهندسی پلیمر، دانشگاه صنعتی امیرکبیر، تهران، ایران

چکیده

نانوذرات اکسید آهن به دلیل ویژگی ویژه از جمله رفتار سوپرپارامغناطیس، سمیت کم، زیست‌سازگاری، روش‌های متعدد جهت سنتز و پتانسیل اصلاح سطح آن‌ها با پوشش‌های متفاوت، کاربرد گسترهای در حوزه‌های مختلف علوم و مهندسی از جمله زیست‌پزشکی یافته‌اند. با این وجود تشکیل کلوخه، توزیع اندازه پراکنده و نیز اکسایش سریع نانوذرات از جمله چالش‌هایی است که به هنگام استفاده از این مواد وجود دارد. در همین راستا روش‌ها و ترکیبات متفاوتی برای سنتز و اصلاح سطحی نانوذرات اکسید آهن به منظور بهبود ویژگی‌ها و افزایش کارایی آن‌ها، معرفی شده است. در این پژوهش، براساس تحقیقات و مطالعات پیشین، به مرور مزایا و معایب انواع روش‌های سنتز نانوذرات اکسید آهن، اصلاح سطحی نانوذرات تولید شده به کمک مواد شیمیایی مختلف، کاربردهای نانوذرات اصلاحی و نیز چالش‌های پیشنهاده شده است و پیشنهادات ارائه شده جهت بهبود کارایی این مواد در عرصه زیست‌پزشکی اعم از درون تن و برون تن، نیز بیان شده است.

واژه‌های کلیدی: نانوذرات مغناطیسی اکسید آهن، پوشش‌های سطحی، خواص نانوذرات اکسید آهن، زیست‌پزشکی

ایمیل نویسنده مسئول: haghghi@iaushiraz.ac.ir

ترمیم بافت^{۱۱}، روش ایمنوسای^{۱۲}، سمزدایی از مایعات بیولوژیک، هایپرترمیا^{۱۳} (درمان و از بین بردن سلول‌های سرطانی با استفاده از حرارت ناشی از نوسان ذرات مغناطیسی)، دارورسانی و غیره، مورد استفاده قرار گرفته شده‌اند [۱۰-۶]. از جمله ویژگی‌هایی که سبب کاربرد گسترده پزشکی و زیستی نانوذرات اکسید آهن شده است می‌توان به قابلیت ساخت ذرات در اشکال و ابعاد متفاوت با توجه به کاربرد و هدف، امکان اصلاح سطح با مولکول‌های زیستی به منظور برهمنکش هدفمند، کنترل ذرات توسط میدان مغناطیسی خارجی، جذب انرژی میدان مغناطیسی خارجی متغیر و آزاد کردن آن به صورت حرارت و خاصیت سوپرپارامغناطیس اشاره کرد [۱۱].

نسبت سطح به حجم و انرژی سطحی نانوذرات آهن بالاست. بنابراین، به سرعت در محیط‌های فیزیولوژیکی تشکیل کلوخه می‌دهند یا اکسید می‌شوند؛ این امر تاثیر نامطلوبی بر خاصیت مغناطیسی و پراکنش نانوذرات در کاربردهای درون‌تن خواهد داشت [۱۲]. از این رو، استفاده از پوشش سطحی مناسب جهت بهبود زیست‌سازگاری این نانوذرات الزامی می‌باشد. استفاده از پوشش سطحی متداول‌ترین روش اصلاح سطحی نانوذرات است

۱- مقدمه

امروزه نانوذرات مغناطیسی^۱ با توجه به کاربردهای فراوان در زمینه‌های متفاوت از جمله سیالات مغناطیسی^۲، کاتالیست‌ها^۳، زیست فناوری/زیست‌پزشکی^۴، ذخیره اطلاعات و جداسازی عناصر مضر و حفظ محیط زیست بسیار مورد توجه پژوهشگران قرار گرفته‌اند [۱-۵]. در میان انواع متفاوت نانوذرات مغناطیسی، نانوذرات مغناطیسی اکسید آهن^۵ شامل مکنتیت^۶ و مگمیت^۷ با ویژگی سوپرپارامغناطیس^۸ به دلیل امکان اصلاح سطح، سنتز آسان و سمیت پایین به طور گسترده‌ای در مقیاس آزمایشگاهی برای برنامه‌های کاربردی متعدد درون‌تن^۹، مانند تصویربرداری تشید مغناطیسی^{۱۰}.

^{1۱} Tissue repair

^{1۲} Immunoassay

^{1۳} Hyperthermia

^۱ Magnetic nanoparticles

^۲ Ferrofluids

^۳ Catalysts

^۴ Biotechnology/biomedicine

^۵ Iron Oxide Magnetic Nanoparticles or IONPs

^۶ Magnetite or Fe_3O_4

^۷ Maghemite or Fe_2O_3

^۸ Superparamagnetic iron oxide nanoparticles or SPIO

^۹ In-vivo

^{۱۰} Magnetic Resonance Imaging or MRI

در این مقاله، در ابتدا به طور خلاصه ضرورت اصلاح سطحی نانوذرات اکسید آهن شرح داده خواهد شد. سپس مواد مورد استفاده برای اصلاح سطحی نانوذرات اکسید آهن در دو دسته اصلاح کننده‌های آلی و معدنی مورد بررسی قرار خواهند گرفت و در بخش آخر خلاصه‌ای از کاربرد این نانوذرات در زمینه‌های متفاوت پژوهشی مرور می‌شود.

۲- اصلاح سطح

در نانوذرات با ابعاد زیر 100 nm تجمع اتم‌های سطحی منجر به بالا رفتن واکنش‌پذیری، ناپایداری و در نهایت تشکیل کلوخه می‌شود. در محیط‌های بیولوژیک نانوذرات کلوخه‌شده به سرعت توسط سیستم ایمنی بدن^۸ به عنوان یک عامل متجاوز شناخته می‌شوند و از جریان خون حذف می‌گردند [۲۵]. افروزن بر این، با تشکیل کلوخه در اثر برهمکنش نانوذرات اصلاح نشده با پلاسمای خون، تعداد بیون‌های آهن افزایش می‌یابد و منجر به ایجاد سمیت در بدن موجود نزدیک بهم ریختن تعادل هموستاز و پاسخهای سلولی نامطلوب از جمله آسیب به DNA، پاسخهای التهابی و سرطان می‌شود [۲۶]. از طرف دیگر، نانوذرات مگنتیت به آسانی توسط مولکول‌های اکسیژن موجود در اتمسفر اکسید می‌شوند، در نتیجه خاصیت مغناطیسی و انحلال‌پذیری آنها به طور چشمگیری کاهش می‌یابد. بنابراین، اصلاح سطح نانوذرات Fe_3O_4 توسط پوشش‌های بیوفانکشنال^۹ منجر به بهبود انحلال‌پذیری در محیط‌های آبی، جلوگیری از تخریب و محافظت از دارو و افزایش پراکنش زیستی^{۱۰} نانوذرات در بدن موجودات نزدیک خواهد شد. همچنین، اصلاح سطحی نانوذرات امکان ایجاد اتصال به داروها، پروتئین‌ها، آنزیم‌ها، نوکلئوتیدها و یا آنتی‌بادی‌ها و انتقال هدفمند آنها را با اعمال یک میدان مغناطیسی خارجی به سلول هدف را فراهم می‌آورد [۲۷ و ۲۵]. اصلاح سطحی نانوذرات به روش فیزیکی و شیمیایی انجام می‌پذیرد. اصلاح سطحی فیزیکی عموماً از طریق جذب سطحی مواد فعال سطحی^{۱۱} یا ماکромولکول‌ها از طریق ایجاد برهمکنش توسط نیروهای الکتروستاتیک روی سطح نانوذره، انجام می‌شود. در این روش پوشش‌های سطحی برهمکنش‌های بین نانوذرات را کاهش می‌دهند و از تجمع آنها جلوگیری می‌کنند [۲۹ و ۲۸]. با این وجود روش اصلاح فیزیکی به دلیل ضعیف بودن پیوندهای هیدروژنی و واندروالسی که منجر به اتصال اصلاح‌کننده به سطح نانوذره می‌شود، در مقابل حرارت و حلال پایداری کمی از خود نشان می‌دهد. این در حالی است که اصلاح سطح به روش شیمیایی با اصلاح کننده‌های همچون

که با اتصال مواد آلی و معدنی به سطح نانوذرات انجام می‌گیرد. این روش نه تنها از اکسیداسیون و تجمع نانوذرات جلوگیری می‌کند بلکه امکان عاملدار کردن نانوذرات را نیز فراهم می‌آورد. عاملدار کردن، نانوذرات را به کاندید مناسبی جهت استفاده در برنامه‌های پزشکی تبدیل می‌کند [۱۳]. پارامترهای متفاوتی از جمله شکل، اندازه و توزیع اندازه نانوذرات، استفاده آنها را در کاربردهای پژوهشی تحت الشعاع قرار می‌دهد. از این رو محققان به بررسی روش‌های متفاوت سنتز نانوذرات برای کنترل اندازه، شکل و ریختشناسی پرداخته اند [۱۴ و ۱۵]. به تازگی از روش‌های آب گرمایی^{۱۶}، تجزیه حرارتی^{۱۷}، میکروامولسیون^{۱۸}، رسوب الکتروشیمیایی^{۱۹}، تجزیه در اثر حرارت لیزر [۲۰]، روش‌های سونوشیمیایی^{۲۱}، رسوب بخار شیمیایی [۲۲]، سنتز نانوذرات به کمک مایکروویو^{۲۳} و تجزیه در اثر حرارت آئروسل یا پیرولیز^{۲۴} برای تهیه IONPs گزارش شده است. مزایا و معایب برخی از روش‌های تولید نانوذرات اکسید آهن در جدول ۱-۱ ذکر شده است.

جدول ۱-۱: مزایا و معایب روش‌های متفاوت سنتز نانوذرات اکسید آهن

روش تولید	مزایا	معایب
Hydrothermal	امکان کنترل آسان واکنش، بالا بودن زمان اندازه و شکل دما و فشار واکنش	طولانی بودن زمان
Thermal decomposition	کنترل خوب اندازه، بالا بودن دمای واکنش شکل و بازده بالا	
Microemulsion	کنترل شکل و اندازه بالا حلال و زمانبر و ساختار یکنواخت بودن	بازده پایین، حجم
Aerosol/vapour or pyrolysis	بازده بالا	کنترل دقیق اندازه و فرآیند و طولانی بودن زمان واکنش
Electrochemical	عدم تکرار پذیری	گران قیمت بودن سل-ژل ^۷ ساختار

^۱ Hydrothermal

^۲ Thermal decomposition

^۳ Microemulsion

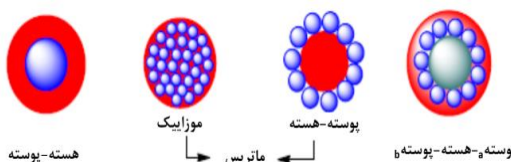
^۴ Electrochemical deposition

^۵ Sonochemical synthesis

^۶ Aerosol/vapour or pyrolysis

^۷ Sol-gel

۱-۲- اصلاح سطح به وسیله تثبیت کننده‌های آلی معمولاً از ترکیبات آلی برای پوشش دهی و جلوگیری از کلخه شدن IONPs حین و یا پس از فرآیند سنتر استفاده می‌شود. اصلاح سطح نانوذرات مغناطیسی اکسید آهن با مواد آلی نه تنها خواص مغناطیسی نانوذرات را حفظ می‌کند بلکه باعث زیست‌سازگاری و زیست‌تخریب‌پذیری نانوذرات نیز خواهد شد. به علاوه، ترکیبات آلی دارای گروه‌های عملی متعددی از جمله گروه آلدید، گروه هیدروکسی و کربوکسی، آمینو اسید و غیره هستند که امکان اتصال مجدد به لیگاندهای مانند آنتی‌بادی‌ها، پروتئین‌ها، DNA، آنزیم‌ها و غیره را فراهم می‌آورند [۲۷و ۱۲].



شکل ۲. ساختار و نحوی قرارگیری پوشش‌های آلی (دایره‌های آبی: نانوذرات مغناطیسی اکسید آهن)

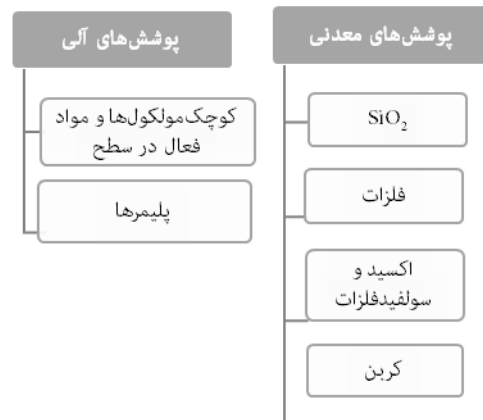
ترکیبات آلی می‌تواند به سه شکل نانوذرات مگنتیت را پوشش دهد:

۱- ساختار هسته-پوسته^۴ که عموم پوشش‌دهی نانوذرات مغناطیسی اکسید آهن توسط ترکیبات آلی منجر به تشکیل این ساختار خواهد شد (شکل ۲). در این حالت، هسته می‌تواند مگنتیت یا مگھمیت باشد.

۲- ساختار ماتریسی^۵ که خود به دو زیر شاخه تقسیم می‌شود: (الف) موزاییک، (ب) پوسته-هسته.^۶ در ساختار پوسته-هسته، هسته ماده‌ای آلی و پوسته ذرات اکسید آهن می‌باشدند (نانوذرات توسط پیوند شیمیایی به ترکیب آلی متصل می‌شوند). در ساختار موزاییکی، پوسته ترکیب آلی است که تعداد بسیار زیادی نانوذرات اکسید آهن با اندازه یکنواخت را پوشش می‌دهد.

۳- ساختار پوسته(a)-هسته-پوسته(b):^۷ در این ساختار نانوذرات (هسته) ابتدا درون یک ماتریس جاگذاری می‌شوند. در میان ماتریس‌های متفاوتی که می‌توان به این منظور استفاده کرد، بسیارها با توجه به خواص گوناگونشان بسیار مورد توجه قرار گرفته‌اند. در مرحله بعد پوسته(a) که ترکیبی آلیست بر ساختار هسته-پوسته(b) قرار گرفته و منجر به تشکیل ساختار پوسته(a)-هسته-پوسته(b) می‌شود. امروزه این نوع از

مواد آلی و غیر آلی، کوچک‌مولکول‌ها یا بسیارها به منظور ایجاد سازگاری سطحی پایدارتر بین دو فاز ترجیح داده می‌شود. اصلاح سطحی شیمیایی به دو روش درجا و دو مرحله‌ای قابل انجام می‌باشد. در روش درجا اصلاح‌کننده به منظور کنترل شکل، اندازه و جلوگیری از تجمع نانوذرات حین یا قبل از تولید آن‌ها به محیط واکنش اضافه می‌شود. اما در اصلاح شیمیایی دو مرحله‌ای نانوذرات ابتدا تولید و سپس توسط پوشش‌ها، اصلاح سطح صورت می‌گیرد [۳۰-۳۲]. جهت پوشش سطحی نانوذرات از رنج وسیعی از مواد آلی و غیر آلی مانند مواد فعال سطحی، بسیارهای طبیعی و سنتزی، سلیکا، کربن^۸ و فلزات یا اکسید فلزات و یا سولفیت فلزات همچون طلا، استفاده می‌شود [۱۲]. نوع پوشش سطحی و ماده حاصل از هیدرولیز این مواد تعیین‌کننده شکل، ابعاد، پایداری و میزان سمیت نانوذرات آهن درون بدن می‌باشد. نوع پوشش با توجه به خواص زیستی مورد نیاز و کاربرد نهایی نانوذرات تعیین می‌شوند. در شکل ۱ انواع پوشش‌های آلی و معدنی در جدول ۱-۲ مزایای این دو پوشش آمده است.



شکل ۱. انواع پوشش‌های آلی و معدنی
جدول ۱-۲: مزایای پوشش‌های آلی و معدنی نانوذرات مغناطیسی اکسید آهن

نوع پوشش	مزایا
پوشش‌های آلی	تولید نانوذرات محلول در آب، روغن یا آمیفیلیک بر اساس نوع پوشش مصرفی، استفاده از بسیارها و بیمولکول‌ها منجر به بهبود زیست‌سازگاری و فراهمی‌زیستی
پوشش‌های معدنی	جلوگیری از تشکیل کلخه، امکان فاکشنالیزاسیون با مولکولهای زیستی، بهبود زیست‌سازگاری، آبدوستی و پایداری

⁴ Core-shell

⁵ Matrix

⁶ Mosaic

⁷ Shell-core

⁸ Shell_a-Core-Shell_b
^۱ Silica or Silicon dioxide or SiO₂
^۲ Carbon Or C

^۳ Gold or Au

یکنواخت این ماده بر نانوذرات اکسید آهن هستند [۳۴]. در این مقاله به دلیل ایجاد پیوند شیمیایی بین گروه کربوکسیل و سطح نانوذرات از تشکیل کلخه جلوگیری شد [۳۵]. در مطالعه دیگری، ژانگ و همکاران به بررسی تأثیر تراکم پوشش OA روی سطح نانوذرات بر اندازه پرداختند. خواص مغناطیسی OA نانوذرات اصلاح شده با افزایش سایز افزایش یافت. از سوی دیگر با وجود این که نانوذرات اصلاح شده با OA در محلول‌های آبی انحلال‌پذیری اندکی داشتند، اما انحلال‌پذیرشان در حلal‌های غیر آبی در pH بهینه بسیار بالا بود. این ویژگیست که نانوذرات اکسید آهن با پوشش OA را برای مصارف پزشکی مناسب کرده است [۳۶]. در یکی دیگر از پژوهش‌ها، به منظور اصلاح سطح نانوذرات مگنتیت از OA در غلظت‌های متفاوت اصلاح شده استفاده شد و کاربرد نانوذرات سنتز شده در درمان سرطان به روش هایپرترمیا مورد مطالعه قرار گرفت. نتایج نشان داد نانوذرات اصلاح شده با ۱% OA کمتر تشکیل کلخه می‌دهند و پراکنش این ذرات در محیط‌های آبی بیشتر است. علاوه بر این، این نمونه بالاترین بهره‌وری گرمایش را از خود نشان داد (افزایش دما تا $25,3^{\circ}\text{C}$) که مشابه بازده گرمایش نانوذرات بدون پوشش بود (افزایش دما تا $26,7^{\circ}\text{C}$). بنابراین می‌توان نتیجه گرفت که یکی از الزامات افزایش دما در درمان سرطان به روش هایپرترمیا پراکنش نانوذرات در محیط آبی است [۳۷]. شاوو و همکاران گزارش کردند که نانوذرات مغناطیسی پوشش داده شده با OA، لوریکاسید^۴، دودسیل‌فسفونات^۵، هگزادسیل‌فسفات^۶ متوسط قطری در حدود $8\text{-}6\text{ nm}$ دارند. نتایج حاکی از آن بود که الکلی‌فسفونات و فسفات‌ها برای دستیابی به توزیع و پخش پایدار ترمودینامیکی مورد استفاده قرار گیرند. این ترکیبات یک ساختار شبکه‌داری تشکیل می‌دهند و به دلیل پیوند مناسب الکلی‌فسفونات و فسفات به سطح مگنتیت و زیست‌سازگاری فسفونات و فسفات این نانوذرات در صنعت پزشکی من جمله تصویربرداری MRI و غیره کاربرد دارند [۳۸]. پتروچان و همکاران با تغییر شرایط فرآیندی، از جمله دمای واکنش و نوع پوشش سطحی، نانوذرات مگنتیت به روش همرسوبی سنتز کردند و ریخت‌شناسی خواص حرارتی و مغناطیسی، هدایت الکتریکی و پایداری کلئوپتی آن را مورد ارزیابی قرار دادند. با اصلاح سطح نانوذرات توسط هگزانویک‌اسید^۷ و OA، متوسط اندازه ذرات، با توجه به قرارگیری یک لایه پوشش روی سطح، افزایش یافت. این در حالی است که هدایت الکتریکی با پوشش‌دهی و افزایش اندازه ذرات کاهش یافت. بیشترین مغناطاش مربوط به مگنتیت پوشش داده شده با HA بود ($58,72\text{ emu/g}$). نانوذرات پوشش

نانوذرات بسیار پرکاربرداند و به روش لایه به لایه^۱ قابل سنتز هستند. پوسته (a) و پوسته (b) می‌توانند از مواد با ویژگی‌های یکسان و یا به منظور دستیابی به خواص مکائیکی، الکتریکی، مغناطیسی و نوری کنترل شده از مواد با گروه‌های عاملی متفاوت باشند [۱۲]. در ادامه به بررسی نانوذرات آهن عامل دارشده با کوچک‌مولکولهای آلی، بسیارها و خواص نهایی آن ها می‌پردازیم.

۲-۱-۱- کوچک‌مولکولهای و مواد فعال سطحی

پوشش‌دهی نانوذرات مغناطیسی مگنتیت که توسط کوچک‌مولکولهای و مواد فعال سطحی صورت می‌گیرد را می‌توان در سه گروه جای داد: ۱- نانوذرات محلول در رون، ۲- نانوذرات محلول در آب و ۳- نانوذرات آمفیفیلیک^۲. نانوذرات اصلاح شده توسط مواد فعال سطحی که در رون محلول‌اند، برهمکنش ضعیفی با حلal‌های آب‌دوست ایجاد می‌کنند. این دسته از ترکیبات آبی دارای گروه‌های آب‌گریز مانند اسیدهای چرب، آکلیل‌ها و فنول‌ها (خطی یا شاخه‌دار با تعداد ۶-۱۰ اتم C) می‌باشند. از جمله ویژگی‌های این دسته جلوگیری از تشکیل کلخه، بهبود پایداری، بهبود انحلال‌پذیری و زیست‌سازگاری است. متقابلاً مواد فعال سطحی که در آب محلول می‌باشند، حاوی گروه‌های آب‌دوست هستند و در محیط‌های آب‌دوست برهمکنش قوی با حلal برقرار می‌کنند. از جمله ویژگی‌های پوشش‌های آب‌دوست که می‌توان به آن اشاره کرد افزایش پراکنش، پایداری و انحلال‌پذیری در محیط‌های آبی است. این دسته از مواد آبی دارای گروه‌های عاملی آب‌دوست مانند نمک‌های آمونیوم، پلی‌آل‌ها و لیسین‌ها می‌باشند. در آخر، اگر نانوذرات اکسید آهن با کوچک‌مولکولهای یا مواد فعال سطحی که یک سر آب‌دوست و یک سر آب‌گریز دارند پوشش‌دهی شوند، نانوذرات آمفیفیلیک تشکیل می‌شود. اصلاح‌کننده‌های آمفیفیلیک از جمله سولفوریک لیسین پایداری در محیط‌های آبی و آبی را به طور همزمان فراهم می‌کنند [۲۷]. در ادامه، برخی از متداول‌ترین کوچک‌مولکولهای و مواد فعال سطحی آبی معرفی و بررسی شده‌اند.

۲-۱-۱-۱- اسید اولئیک^۳ (OA)

OA به دلیل عدم ایجاد سمیت در خون و حلالیت بالا در محیط‌های آبی مانند اتانول، اتر و کلروفرم از جمله معروف ترین مواد فعال سطحی است که به عنوان پوشش IONPs مورد استفاده قرار می‌گیرد. اصلاح سطحی نانوذرات اکسید آهن با OA منجر به کاهش انرژی سطحی، جلوگیری از تشکیل کلخه، بهبود پایداری و زیست‌سازگاری می‌شود [۳۳]. مهدوی و همکاران نشان دادند که pH، درجه حرارت اولیه و سرعت هم‌زدن از عوامل تعیین‌کننده جهت دستیابی به پوشش‌دهی

^۴ Lauric acid

^۵ Dodecyl phosphonate

^۶ Hexadecyl phosphate

^۷ Hexanoic acid or HA

^۱ Layer-by-layer

^۲ Amphiphilic

^۳ Oleic acid or OA

های آزاد موجود در این ترکیبات پس از پوشش دهی امکان اتصال سایر مواد به سطح نانوذرات را نیز فراهم می‌آورد [۴۳].

۲-۱-۲- بسپارها

ماده‌ی دیگری که از آن به عنوان پوشش سطح نانوذرات مغناطیسی اکسید آهن استفاده شده است، بسپار است. پوشش‌های بسپاری با ایجاد نیروهای دافعه الکترواستاتیک و اثر استری از تشکیل کلوخه جلوگیری می‌کنند [۱۸]. از طرف دیگر به دلیل افزایش نیروهای دافعه و واندروالس روی سطح نانوذرات، خاصیت مغناطیسی نانوذرات به حالت تعادل می‌رسد. مواد بسپاری استفاده شده جهت اصلاح سطحی نانوذرات می‌توانند بسپارهای طبیعی یا سنتزی می‌باشند. در جدول ۲-۲، لیست بسپارهای رایجی که به عنوان پایدارکننده نانوذرات در کاربردهای زیستپژشکی مورد استفاده قرار گرفته‌اند به همراه مزای آن‌ها، آورده شده است [۱۲]. لازم به ذکر است که بسپارهای طبیعی مانند کیتوسان^۷، دکستران^۸، ژلاتین^۹ و ناشاسته^{۱۰}، حین سنتر نانوذرات افزون بر اصلاح سطح، به عنوان پایدارکننده نیز عمل خواهد کرد. بنابراین، استفاده از آن‌ها پایداری، زیست‌سازگاری و زیست‌تخربی‌پذیری نانوذرات مگنتیت را افزایش می‌دهد [۱۸].

۲-۱-۲-۱- کیتوسان (CS) و مشتقات آن

ترکیبات CS از طریق پیوند شیمیایی بین بتا ۴-O-گلوكوزید و مونومرهای n-استیل‌گلوكرامین تشکیل می‌شود. این ماده بسپاری خطیست که به دلیل وجود گروه‌های آمین آزاد دارای بار مثبت است. همچنین، گروه‌های هیدروکسیل فعال‌تر است، در نتیجه در C₂ بسپار از گروه‌های هیدروکسیل فعال‌تر است، در نتیجه در شرایط ملایم قابلیت واکنش‌پذیری دارد. از دیگر مزایای CS می‌توان به عدم سمیت، آبدوستی، زیست‌سازگاری و زیست تخریب‌پذیری اشاره کرد [۴۱]. این ماده به طور گستردگی در حوزه‌های محیط زیستی علل خصوص مدیریت پسماند [۴۶]، بهداشت صنایع غذایی [۴۵] بکار برده می‌شود. پس از اصلاح سطحی نانوذرات با این ماده تعداد گروه‌های آمین افزایش می‌یابد و امکان اتصال نانوذرات به مولکولهای فعال زیستی و افزایش کارایی آن‌ها را فراهم می‌کند. به منظور تهیه نانوذرات اکسید آهن با گروه‌های فعال، بوروسکا و همکارانش از پوشش همزمان نانوذرات با CS و پلی‌کواترنیوم^{۱۱} آمفیفیلیک بهره بردن. نانوذرات تولیدی در این روش دارای بار مثبت بودند و امکان اتصال نانوذرات به مولکولهای فعال زیستی را فراهم آورند. همچنین، نانوذرات پوشش داده شده با CS دارای قابلیت حمل گروه‌های کلرهگزیدین^{۱۲}، که در مقابله با باکتری

داده شده با OA به مدت یک هفته از خود پایداری سوسپانسیونی به نمایش گذاشتند [۳۹]. نانوذرات مغناطیسی اکسید آهن حاوی پوشش‌های متفاوت (OA)، پلی‌اتیلن‌گلیکول^۱ (SiO₂) با متوسط اندازه ۱۰ nm توسط محمدی و همکاران در سال ۲۰۲۱ سنتز و با یکدیگر مقایسه شدند. نتایج این مطالعه نشان داد که نانوذرات اصلاح شده با OA و PEG می‌توانند و زندگانی سلولهای HepG2 قابل ملاحظه بود. در درمان‌های کلینیکال^۲ دوز مؤثر جهت استفاده در محدوده ۱۰ تا ۴۰ میکروگرم بر میکرولیتر گزارش شد و با افزایش دوز، سمیت سلولی افزایش یافت. کاربرد این ذرات برای عکس‌برداری‌های MRI است [۴۰].

۲-۱-۲-۲- اسید سیتریک^۳ (CA)

CA دارای سه گروه کربوکسیل در ساختار خود می‌باشد که می‌توانند با نانوذرات اکسید آهن پیوند کووالانسی ایجاد کند. دافعه الکترواستاتیک بین گروه‌های CA مانع از تجمع نانوذرات اکسید آهن می‌شود و مانع تشکیل کلوخه شود. نانوذرات اکسید آهن در محلولهای آبی به مدت ۶ ماه پایدارند و اصلاح شده با CA در محلولهای آبی در زمینه تصویربرداری MRI است. آندریاس و همکاران دریافتند که برچسب‌گذاری سلولهای بینیادی انسان‌ها به وسیله IONPs تاثیری بر تکثیر و تفکیک سلول‌ها ندارد و این فرضیه را با تصویربرداری MRI مورد بررسی قرار دادند. از این رو می‌توان از نانوذرات اکسید آهن با پوشش سطحی CA به منظور ریدیابی سلولهای بینیادی In-vivo بهره برد [۴۱]. در یکی دیگر از مطالعات، از CA برای اصلاح سطح نانوذرات مغناطیسی اکسید آهن استفاده شد. محققان دریافتند امکان اتصال این ترکیب از چند نقطه و یا به صورت مولتی‌والانت به سطح نانوذره وجود دارد که به موجب آن بازده اتصال دارو یا دیگر مواد زیستی افزایش خواهد یافت. همچنین به دلیل ممانعت فضایی ایجاد شده توسط درشت‌مولکولهای فعال سطحی و زنجیرهای بسپاری احتمال از بین رفتن اتصالات وجود دارد که با استفاده از کوچک‌مولکولهای دارای چندین گروه عاملی مانند CA می‌توان بر آن غلبه کرد [۴۲]. افزون بر OA و CA که از متداول‌ترین مواد این دسته جهت پوشش دهنده نانوذرات اکسید آهن هستند، اردلین و همکاران دریافتند که استفاده از اسید سالیسیلیک^۴، اسید گلوتامیک^۵ و اسیدتری‌کلرواستیک^۶ به منظور اصلاح سطحی نانوذرات اکسید آهن نه تنها از تجمع ذرات جلوگیری می‌کند و پایداری نانوذرات در محیط‌های بیولوژیک را افزایش می‌دهد بلکه گروه

^۷ Chitosan or CS

^۸ Dextran or DEX

^۹ Gelatin or Gel

^{۱۰} Starch

^{۱۱} Polyquaternium

^{۱۲} Chlorhexidine

^۱ Polyethylene glycol or PEG

^۲ Clinical

^۳ Citric acid or CA

^۴ Salicylic acid

^۵ Glutamic acid

^۶ Trichloroacetic acid

مولکولی kDa ۲۰۰) پوشش دادند و خواص آن را مورد مطالعه قرار دادند. با افزایش میزان DEX مصرفی به ۱۰ mg پوشش دهنده یکنواختتر صورت گرفت و نانوذرات پراکنش مناسبتری داشتند. نانوذرات سنتز شده دوستدار محیط زیست بودند و دارای خاصیت تشخیصی، کاتالیستی و مغناطیسی بودند [۵۲]. عوض زاده و همکاران در سال ۲۰۱۷ از نانوذرات اکسید آهن با پوشش DEX-اسپرینین[®] به منظور درمان سرطان سینه به روش هایپرترمیا استفاده کردند. متوسط اندازه ذرات پس از اصلاح سطح nm ۶۷,۳ بود. قابلیت هدفگیری سلولهای سرطانی و گرمایش آنها توسط نانوذرات تأیید شد. با استفاده از این نانوذرات و روش استفاده شده ۶۴% از سلولهای سرطانی در مدت زمان ۲۰ دقیقه از بین رفتند [۵۳].

۱-۲-۳- پلی اتیلن ایمین^۰ (PEI)

PEI یک بسپار کاتیونی محلول در آب است. این بسپار دارای گروههای آمین و وینیل است و به دلیل داشتن بار مثبت قابلیت جذب الکترواستاتیکی DNA با بار منفی و انتقال ژن‌ها را دارد. به علاوه، از نانوذرات اکسید آهن اصلاح شده با PEI می‌توان جهت داروسانی هدفمند، انتقال ژن مغناطیسی و هایفوتروبا^۱ مغناطیسی نیز بهره برد [۵۴].

کریمزاده و همکارانش، از واکنش درجا IONPs با PEI پلیوینیلپروپیون^۷ نانوذرات با بار مثبت و قابلیت اتصال به DNA را تولید کردند. نانوذرات اصلاح شده با PEI در محلولهای نمکی غلیظ با H⁺های متفاوت پایداری مناسبی داشتند [۵۵]. در این بررسی بعد از سنتز و اصلاح سطح نانوذرات، پلاسمیدهای حاوی پروتئین فلورسنت سبز به سطح نانوذره متصل شدند. نتایج نشان داد بازده انتقال این ترکیب به سلول با قرار گرفتن در مععرض میدان مغناطیسی بهبود می‌یابد. همچنین نانوذرات با ابعاد nm ۳۰۰ و ۱۰۰ nm با ابعاد nm ۳۰۰ و ۱۰۰ nm برابر سریع‌تر از نانوذرات با ابعاد nm ۵۰۰-۲۰۰ به سلول‌های سرطانی ریه جذب می‌گردند [۵۶]. مکانیسم عملکرد این نانوذرات به این صورت است که با تغییر pH و ایجاد ناپایداری لیزوژومی، نانوذرات اکسید آهن وارد سلول سرطانی می‌شوند و امکان تخلیه اصلاح شده با PEI درون سیتوپلاسم هسته فراهم می‌شود [۵۷]. به منظور ردیابی نانوذرات درون سلول، توپل و همکارانش نانوذرات اصلاح شده با PEI را به مولکول‌ها فلوروفور^۸ با ایجاد پیوند کووالانسی متصل کردند. محصول حاصل جهت تصویربرداری از سلول‌های اپیتلیال آدنوکارسینومای ریه انسان مناسب بودند. این نانوذرات حتی در غلظت‌های بالا غیررسمی بودند و امکان

ها و قارچ‌ها بسیار موثر هستند، هستند [۴۶]. سفی و همکارانش نانوذرات اکسید آهن را با کربوکسیل متیل کیتوسان^۱ اصلاح کردند. ابعاد نانوذرات اصلاح شده بین ۰,۷-۲,۵ nm بود و نانوذرات توانایی بالایی در حذف یون‌های فلزی از آب آشامیدنی داشتند. همچنین، این نانوذرات ویژگی‌های مانند پاسخ مغناطیسی سریع، پایداری و زیست‌سازگاری مناسب که از ملزومات اساسی در تصویربرداری MRI می‌باشد را از خود به نمایش گذاشتند [۴۷]. سونگ و همکارانش نانوذرات اکسید آهن با پوشش CS را سنتز و سپس سطح نانوذرات تولیدی را با استفاده از PEG و اسید لاکتوبیوتیک^۲ اصلاح کردند. این نانوذرات غیرسمی با توزیع اندازه مناسب حساسیت بالایی جهت استفاده در عکسبرداری MRI داشتند [۴۸]. بنابراین نانوذرات اکسید آهن اصلاح شده با CS و مشتقاش می‌توانند به طور گسترده جهت کاربردهای زیست‌محیطی، تصویربرداری مغناطیسی و غیره مورد استفاده قرار گیرند.

(DEX) - ۲-۱-۲-۲ دکستران

اصلاح سطحی نانوذرات اکسید آهن با DEX نه تنها از تجمع آن‌ها جلوگیری می‌کند بلکه منجر به بهبود زیستسازگاری می‌شود [۴۹]. در سال ۲۰۰۵، سنتز نانوذرات مگنتیت پوشش داده شده با DEX (وزن مولکولی 7-kDa) که به آن‌ها اسیدفولیک^۳ متصل بود، توسط سونیکو و همکارانش صورت گرفت. با توجه به بیان FA توسط تومورهای سرطان سینه و تخدمان، از این ویتامین به منظور هدفگیری و شناسایی تومورها و سلول‌های سرطانی استفاده شد. در آخر خواص این نانوذرات نیز مورد پژوهش قرار گرفت. نتایج نشان داد که پوشش استفاده شده از کلوجه شدن ذرات در محیط‌های بیولوژیک جلوگیری می‌کند و اندازه قطر ذرات در محدوده ۱۰-۲۰ nm است. در غلظت‌های بالا از نانوذرات سمیت سلولی اندکی مشاهده گشت و پایداری کلونی‌ای این ذرات در pH اسیدی و بازی و همچنین در حضور محلول‌های نمک با غلظت بالا مناسب بود. افزون بر این مشاهده شد که نانوذرات متصل به FA توانایی بیشتری در هدفگیری و جذب سلول‌های سرطانی HeLa و KB دارند [۵]. در یکی از مقالات، از PEG و DEX جهت اصلاح سطح نانوذرات اکسید آهن با اداره متوسط ۵ nm و ۳۰ nm استفاده شد. ذرات بدون پوشش (در غلظت ۰,۵ mg/ml) تا ۶ برابر بیشتر باعث افزایش مرگ سلول‌های اندوتیال آثرت خوب می‌شوند، در حالی که درصد زنده‌مانی و مورفو‌لوزی سلول‌ها در حضور نانوذرات با هر کدام از پوشش‌های سطحی یکسان و ثابت بود. پوشش PEG و DEX منجر به کاهش سمیت سلولی شد [۵۱]. پردسکو و همکارانش، نانوذرات مغناطیسی آهن را با DEX (وزن

4 Spermine

⁵ Polyethyleneimine or PEI

⁶ Hypothermia

⁷ Polyvinylpyrrolidone or PVP

⁸ Fluorophore

سطحی بیش از ۹۰٪ گزارش شد. به علاوه نتایج آزمون رهایش دارو نشان داد که سرعت رهایش دارو در pH اسیدی بسیار بالاتر از سرعت رهایش دارو در pH خنثی است. بنابراین، نانوذرات سنتز شده به تغییرات pH حساس‌اند^[۶۲]. در یکی از تحقیقات صورت گرفته، از ترکیب PEG/PVP و PEG/PEI سطح سطح نانوذرات Fe₃O₄ ساخته شده به روش تخریب حرارتی بهره برده شد. در این پژوهش، اثر زمان واکنش، دما، و مقدار PVP و PEI بررسی شد. سایز هیدرودینامیکی نانوذرات پس از پوشش دهنی کوچکتر از ۴۰ nm بود و باز مغناطیسی ذرات خنثی یا مشت گزارش شد. در مقایسه با نانوذرات اکسید آهنی که تنها با PEG پوشش داده شدند، پایداری و انحلال نانوذرات اصلاح شده با دو ترکیب یاد شده در آب دیونیز و بافر نمک فسفات فراتر بود. پژوهشگران این پژوهش دریافتند که سایز و خواص فیزیوشیمیایی نانوذرات PEG/PEI را پوشش داده شده با دو ترکیب PEG/PVP و PEI کنترل و میتوان با تغییر دما و زمان واکنش و میزان PVP و PEI این تنظیم نمود^[۶۳]. حاج‌اسماعیل‌زاده و همکاران تأثیر سایز هیدرودینامیکی نانوذرات مغنتیت با PEG بر ایجاد کنتراست منفی در تصویربرداری MRI را مورد پژوهش قرار دادند. نتایج نشان داد افزایش سایز هیدرودینامیکی ذرات منجر به کاهش رلکسیویتی^۳، کاهش نسبت r_1/r_2 خواهد شد، بنابراین کنتراست منفی در تصویربرداری MRI افزایش یافت^[۶۴].

۲-۱-۲-۵ سایر بسپارها

در پژوهش دیگری، تأثیر پارامترهای متفاوت (عامل ایجاد اتصال عرضی، ترکیب درصد نانوذرات اکسید آهن و غیره) روی اندازه و پایداری کلوئیدی نانوذرات مغناطیسی پوشش داده شده با Gel مورد مطالعه قرار گرفت. با افزایش غلظت گلوتارآلدهاید^۴ به عنوان عامل ایجاد اتصال عرضی، اندازه نانوذرات و پایداری کلوئیدی کاهش یافت. محدوده غلظت بهینه GA برای تولید نانوذرات با اندازه و پایداری کلوئیدی مناسب، ۱۸ تا ۳۰ میکرولیتر بود. با افزایش ترکیب درصد نانوذرات اکسید آهن، اندازه ذرات بدون تغییر باقی ماند در حالی که پایداری کلوئیدی از یک ماه به سه روز کاهش یافت. این نانوذرات در زیست‌پژشکی کاربرد دارند^[۶۵]. در سال ۲۰۰۶ در مطالعه‌ای سنتز و خواص نانوذرات مغنتیت اصلاح شده با پلی‌وینیل‌الکل‌فسفات^۵ مورد بررسی قرار گرفت. نانوذرات تولید شده با استفاده از ۱٪ PVAP دارای توزیع اندازه باریک و ابعاد حدودی ۵-۸ nm بودند. این نانوذرات به دلیل حضور گروههای فسفات دارای پراکنش و پایداری مناسب در pH اسیدی (pH ۵ تا ۸) هستند. همچنین نانوذرات اصلاح شده به دلیل حضور گروههای هیدروکسیل آزاد روی سطح قادر به

استفاده از آن‌ها در برچسب‌گذاری‌زیستی وجود داشت^[۵۸]. توتیانو و همکارانش، از نانوذرات اکسید آهن پوشش داده شده با PEI برای انتقال داروهای ضد سرطان استفاده کردند. آن‌ها نشان دادند که از تجمع نانوذرات در محیط کشت می‌توان برای به دام انداختن درصد بیشتری از مولکولهای فعال بهره برد. پس از اتصال مولکولهای فعال به سطح نانوذرات اصلاح شده در محیط کشت، نانوذرات به درون سلول انتقال یافتد و رفتار زیستی آن‌ها مورد بررسی قرار گرفت. نتایج بدست آمده حاکی از پتانسیل بالای این نانوذرات در داروسانی هدفمند به سلول‌های هدف بود^[۵۹].

۲-۱-۲-۶ پلی‌اتیلن‌گلیکول (PEG)

بسپار آبدوست، غیرسمی با طول زنجیر بلند است که امکان سنتز آن در وزن‌های مولکولی متفاوت وجود دارد و با توجه به وزن مولکولی بسپار کاربردهای نهایی این پوشش نیز متفاوت خواهد شد. نانوذرات اکسید آهن اصلاح شده با این بسپار معمولاً به روش Sol-gel سنتز می‌شوند. این درحالی است که استفاده از این روش نیاز به تبحر بسیار زیاد اپراتور و دمای بالا جهت سنتز دارد. از این رو یافتن روش‌های ساده و کارآمد جهت سنتز نانوذرات با پوشش PEG از اهمیت بالایی برخوردار است^[۴۱]. یانگ و همکارانش، با استفاده از روش همروسوبی توانستند نانوذرات اکسید آهن اصلاح شده با PEG در دمای ۶۰°C تولید کنند. نانوذرات تولیدی دارای توزیع اندازه مناسب و ابعاد ۱۵ nm بودند^[۶۰]. سان و همکارانش، در سال ۲۰۰۶ به روش همروسوبی نانوذرات مغناطیسی اکسید آهن با پراکنش مناسب در محلول آبی را سنتز کردند. در این تحقیق از دو پوشش زیست سازگار PEG و سدیم اولنات^۶ استفاده شد. نتایج نشان داد، با افزایش غلظت SO₄²⁻، اندازه نانوذرات کاهش یافت و در غلظت‌های بالا از SO₄²⁻ (بیش از ۶٪) اندازه نانوذرات بدون تغییر باقی ماند. نانوذرات مغناطیسی اکسید آهن با پوشش SO₄²⁻ در مقایسه با پوشش PEG با توجه به زیست‌سازگاری و خواص مغناطیسی بهتر (افزایش اشباعیت مغناطیسی از ۴۱,۶emu/g به ۴۹,۲۴emu/g) کاربردهای مناسبتری برای استفاده در کاربردهای PVP و PEG داشت^[۶۱]. در مقایسه با ایجاد اتصال عرضی، ایجاد اتصال مغنتیت با PEG و PVP جهت اصلاح سطح نانوذرات مغنتیت که به روش تخریب حرارتی سنتز شدند، استفاده شد. در این مطالعه اثر زمان، دمای واکنش و مقدار PVP بررسی شد. با افزایش مقدار PVP از ۰,۳g به ۲g ابعاد ذرات تغییر نکرد. این در حالیست که با افزایش وزن مولکولی PVP ابعاد نانوذرات کاهش یافت. نانوذرات اصلاح شده پایداری کلوئیدی بسیار مناسبی در آب دیونیز و دیگر بافرهای فیزیولوژیک داشتند. همچنین بازده بارگذاری داروی دوکسوسوروبیسین^۷ توسط نانوذرات دارای پوشش

^۳ Relaxivity

^۴ Glutaraldehyde or GA

^۵ Poly (vinyl alcohol phosphate) or PVAP

^۱ Sodium oleate or SO

^۲ Doxorubicin or DOX

نانوذرات اکسید آهن با پوشش‌های سطحی متفاوت می‌تواند در زمینه‌های متفاوت مورد استفاده قرار گیرند. انتخاب ماده اصلاح‌کننده سطح با توجه به نیازهای تعیین‌شده می‌تواند در دستیابی به بازده بینه و کارایی بالا بسیار موثر باشد. در جدول ۲-۲ خلاصه‌ای از عملکرد بسیارهای متفاوت جهت اصلاح سطحی نانوذرات Fe_2O_4 آمده است.

۲-۲ اصلاح سطح به وسیله مولکول‌های غیرآلی

از مواد معدنی می‌توان به عنوان جایگزین مواد آلی برای پوشش‌دهی سطح نانوذرات مغناطیسی اکسید آهن استفاده کرد. از جمله ویژگی‌های این دسته چگالی بالای بار الکترونی و جذب نوری (Au و $\text{نقره}^{۱۰}$ ، تابش فوتون‌های نوری (کadmیوم‌سلنید^{۱۱} و کadmیوم‌تلورید^{۱۲})، خاصیت فسفرسانس (اکسیدهای فلزی یا ساختار شیمیایی X_2O_3) است. نانوذرات اصلاح‌شده با مواد معدنی همچنین دارای خاصیت آنتی‌اکسیدانی هستند [۲۷]. ساختار اصلاح‌کننده‌های معدنی می‌تواند یکی از پنج ساختار هسته-پوسته، موزائیک، پوسته-هسته، پوسته^(۱)-هسته-پوسته^(۲) و دمبلي باشد. در بین این ساختارها، تشکیل ساختار هسته-پوسته محتمل‌تر است (هسته داخلی از اکسید آهن و پوسته خارجی ماده معدنی). پوسته‌ی خارجی می‌تواند از مواد فلزی همچون Au و یا ترکیبات مانند SiO_2 ، ترکیبات سیلانی^{۱۳}، کادولینیوم^{۱۴} و غیره باشد [۲۷]. بنابراین، این پوشش‌های معدنی نه تنها سبب پایداری نانوذرات در محلول می‌شوند، بلکه امکان اتصال لیکاندهای گوناگون بیولوژیکی را فراهم می‌آورد که در نهایت استفاده گستردگی آن‌ها در مصارف زیست‌پزشکی را به دنبال دارد. در ادامه برخی از اصلاح‌کننده‌گان معدنی ذکر شده است.

۲-۲-۱ ترکیبات سیلان

فرمول عمومی ترکیبات با گروه عاملی سیلان می‌باشد که در آن R نماینده گروه فعال و X نماینده گروه کلوکسی با قابلیت هیدرولیز می‌باشد. این ترکیبات زیست‌سازگارند و سمیت کمتری نسبت به پوشش SiO_2 دارند. نانوذرات اصلاح‌شده با این عامل به دلیل دارا بودن هر دو گروه آبدوست و آبگریزی دارای خواص آمفیفلیک هستند. استفاده از این مواد منجر به اصلاح سطحی شیمیایی خواهد شد. پوشش‌های سیلانی در ابتدا پس از هیدرولیز، گروه‌های کلوکسی سیلانول تشکیل می‌دهند که با گروه‌های هیدرولکسیل موجود در سطح نانوذره واکنش می‌دهند و با برقراری پیوند کووالانسی به سطح نانوذره متصل می‌گردند [۴۱ و ۶۸].

اتصال به مولکول‌های زیستی دیگر هستند [۶۶]. نانوذرات مگنتیت با پوشش PVP به روش هم‌رسوبی توسط علی‌اکبری و همکارانش در سال ۲۰۱۸ سنتز شدند. کاربرد نانوذرات در درمان سلول‌های سرطان سینه BT-474 مورد بررسی قرار گفت. در محدوده غلظت ۱۰ تا ۱۰۰ میکروگرم بر میلی لیتر نانوذرات پوشش داده شده با PVP منجر به رشد و تکثیر سلول‌های سرطانی شدند. نتایج آزمون سمیت سلولی این نانوذرات حاکی از آن بود که استفاده از آن‌ها جهت درمان سلول‌های سرطانی از BT-474 مناسب نیستند [۶۷].

جدول ۲-۲: بسیارهای قابل استفاده برای پوشش‌دهی نانوذرات جهت پایداری فروسیالات و استفاده در مصارف زیست‌پزشکی

بسیارها	مزایا
PEG	عدم تحرك غیر کوalanسی پوشش در سطح سبب افزایش زیست‌سازگاری، افزایش زمان چرخش در جریان خون و خلوص ذاتی نانوذرات
DEX	افزایش زمان چرخش در خون و بهبود پایداری کلوئیدی
PVP	افزایش زمان چرخش در خون و بهبود پایداری کلوئیدی
پلی‌ویبل‌الکل ^۱	ایجاد انعقاد، افزایش ذرات مونو دیپرس
PEI	عدم سمیت، قابلیت استفاده در انتقال کارامد ژن، به دلیل دارا بودن گروه‌های آمین در برای انتقال با کارایی بالا قابل استفاده است
پلی (متیل متاکریلات) ^۲	جلوگریز از میدرولیز شیمیایی، انعطاف‌پذیری و زیست‌سازگاری، قابل استفاده برای انتقال داروهای آبگریز
پلی (آلکیل سیانو‌اکریلات) ^۳	زیست‌سازگاری، سنتز آسان در محیط آبی، با قابلیت استفاده در داروسانی داروها با حساسیت دمایی، افزایش پایداری و زیست‌سازگاری ذرات و بهبود زیست چسبندگی
پلی‌اکریلیک‌اسید ^۴	فعال‌سازی ضعیف ذرات جهت انفعاد، پایداری فسفوریل کولاین ^۵
پلی D,L-لاکتیک‌اسید ^۶	زیست‌سازگاری، سمیت سلولی کم کاربرد در داروسانی داروها با حساسیت دمایی، جدایش سلولی مناسب
پلی‌ان-ایزوپروپیل اکریل آمید ^۷	زیست‌سازگار آبدوست، ژن حامل غیر ویروسی CS
Gel	امولسیفایر آبدوست، زیست‌سازگار
آلزینات ^۸	زیست‌سازگاری، قیمت کم، قابلیت افزودن کاتیون‌های دو ظرفیتی در مصارف پزشکی
پولولان ^۹	بهبود پایداری کلوئیدی، افزایش چسبندگی، سازگاری بیولوژیکی سریع

^۱ Poly (vinyl alcohol) or PVA

^۲ Poly(methyl methacrylate) or PMMA

^۳ Poly(alkyl cyanoacrylate) or (PACC)

^۴ Poly (acrylic acid) or PAA

^۵ Phosphoryl choline

^۶ Poly (D, L-lactic acid)

^۷ Poly (N-isopropylacryl amide)

^۸ Alginate or Alg

^۹ Pullulan

^{۱۰} Silver or Ag

^{۱۱} Cadmium selenide or CdSe

^{۱۲} Cadmium teloride or CdTe

^{۱۳} Silane

^{۱۴} Gadolinium or Gd

نانوذرات اکسید آهن اصلاح شده با MPS نه تنها در pH های متفاوت در محلولهای آبی مناسب است بلکه در حلالهای آلی دیگر مانند متانول^۷، اتانول^۸ و دی‌متیل‌سولفوكسید^۹ نیز پایدار استند [۷۵].

۲-۲-۲- سیلیکا (SiO_2)

SiO_2 یکی از متداولترین پوشش‌های معدنی جهت اصلاح سطحی نانوذرات اکسید آهن است. از ویژگی‌های پوشش SiO_2 می‌توان به پراکنش مناسب، پایداری و محافظت از نانوذرات اکسید آهن در محیط‌های اسیدی اشاره کرد. همچنین با توجه به عدم سمیت، توپولوژی سطحی مناسب، مقاومت در مقابل اسید و قابلیت اتصال به انواع مواد اصلاح‌کننده سطح، SiO_2 اکسید آهنی فراوانی از جمله در رهایش دارو و ژن، لایه عایق کاربردهای فراوانی از میان این اسیدی اشاره کرد. همچنین به برخی مواد نیمه‌هادی، بیوحسگرها و پیل‌های سوختی دارد [۷۶-۷۸]. SiO_2 قادر خاصیت مغناطیسی است. بنابراین با ادغام این ماده با نانوذرات مغناطیسی، نانوذرات تولیدی دارای ویژگی‌های هر دو ماده به طور همزمان خواهد بود. از دیگر ویژگی‌های SiO_2 می‌توان به موارد زیر اشاره کرد:

- ۱- برخلاف پوشش‌های بسپاری مورد حمله میکروبی قرار نمی‌گیرند.
- ۲- پروتئین‌ها را دفع نمی‌کنند.
- ۳- در pH های متفاوت متورم نمی‌شوند و تخلخل آن‌ها تغییر نمی‌کند.
- ۴- زیست‌سازگار و خنثی هستند.

۵- از ایجاد برهمنکنش‌های دو قطبی مغناطیسی ذرات جلوگیری می‌کند، در نتیجه نانوذرات کلوخه نمی‌شوند.

۶- می‌تواند به عنوان یک پایدارکننده عمل کند و در دماهای بالا پایدار بماند و مانع از اکسیداسیون هسته داخلی خود (نانوذرات مگنتیت) شوند.

۷- با توجه به حضور گروه‌های سیلانول، به راحتی با الکل و گروه‌های دیگر واکنش می‌دهد و منجر به پراکنش ذرات در محلولهای آبی می‌شود. همچنین، سطح SiO_2 مکانی ایده‌آل برای اتصال لیگاند‌های خاص از طریق پیوند کووالانسی به Sol-Sol می‌آید [۱۲، ۱۱، ۳۶-۳۸]. از روش‌های متفاوت مانند gel، آب‌کافت تتراتوکسی‌سیلان^{۱۰} و میکرومولسیون معکوس می‌توان برای پوشش‌دهی سطح نانوذرات مگنتیت با SiO_2 استفاده کرد.

در یکی از پژوهش‌ها، نانوذرات Fe_3O_4 با اندازه‌های متفاوت از طریق تغییر زمان واکنش و تغییر مقدار OA سنتز و با استفاده از مقدادر متفاوت از TEOS پوشش‌دهی شدند. نتایج نشان داد با افزایش مقدار TEOS، اندازه ذرات افزایش یافت. به عنوان

۲-۲-۱-۱- آمینوسیلان^۱

استفاده از ۳-آمینوپروپیل‌تری‌اتوکسی‌سیلان^۲ به منظور اصلاح سطحی IONPs منجر به بهبود توزیع نانوذرات و خواص مغناطیسی و سوپرپارامغناطیس در دمای اتاق می‌شود. تئو و همکارانش، نشان دادند نانوذرات اکسید آهن اصلاح شده با APTES دارای تعداد زیاد گروه‌های هیدروکسیل و الکتوکسی هستند و قابلیت انتقال ژن‌ها با بازدهی بالا بدون ایجاد سمیت سلولی قابل ملاحظه را خواهند داشت. هیدروژلهای حساس به حرکت‌های خارجی یکی از کاندیدهای مناسب برای سیستم‌های دارو‌رانی هدفمند به حساب می‌آیند [۶۹]. خسرشوشهای وسیله پیوند کووالانسی ایزوتوپیسانات فلوروستین به داربست هیدروژلی متصل کردند. ویژگی نوری و الکترومغناطیس ماده بدست آمده برای تصویربرداری‌های زیستی بسیار مناسب بود [۷۰]. در یکی دیگر از مقالات، نانوذرات اکسید آهن با دو پوشش زیست‌سازگار L-lysine و APTES اصلاح سطح شدند. نتایج کشت سلولی نشان داد که رشد سلولهای HepG2 در حضور نانوذرات پوشش داده شده بهبود یافت. با افزایش غلاظت نانوذرات، سمیت سلولی ایجاد شد و رشد و تکثیر سلولی کاهش یافت. ایجاد سمیت سلولی با درجه کلوخه‌ای شدن^۳ رابطه مستقیم دارد [۷۱].

۲-۲-۱-۲- وینیل سیلان

وینیل‌تری‌متوكسی‌سیلان^۴ با فرمول شیمیایی $(\text{CH}_2)_5\text{CHSi}(\text{OCH}_3)_3$ در محلولهای آبی هیدرولیز می‌شوند و وینیل‌سیلیکون‌تریول^۵ تولید می‌کنند. سان و همکارانش نشان دادند که نانوذرات اکسید آهن اصلاح شده با VTMS دارای خواص مغناطیسی و سوپرپارامغناطیس بالا هستند. همچنین توزیع این نانوذرات به دلیل ممانعت فضایی استریک ایجاد شده افزایش می‌یابد [۷۲]. در پژوهشی دیگر، آهنگران و همکارانش نانوذرات اکسید آهن با پوسته SiO_2 را با پیوند کووالانسی به VTMS متصل کردند که این امر نه تنها از کلوخه شدن نانوذرات جلوگیری کرد، بلکه منجر به بهبود زیست‌سازگاری، توزیع و پایداری این نانوذرات نیز شد [۷۳].

۲-۲-۱-۳- متاکربلوکسی‌پروپیل‌سیلان^۶

مشابه ونیل‌سیلان، این ماده فعال سطحی نیز دارای یک سر آبدوست پروپیل و یک سر آبگریز از جنس گروه‌های متوكسی می‌باشد. اصلاح سطح توسط این پوشش از طریق اکسایش بین گروه‌های هیدروکسیل و سطح نانوذرات صورت می‌پذیرد [۷۴]. جیونگ و همکارانش، دریافتند که پایداری

⁷ Methanol

⁸ Ethanol

⁹ Dimethyl sulfoxide

¹⁰ Tetraethyl ortosilicate or TEOS

¹ Aminosilane

² 3-aminopropyltriethoxysilane or APTES

³ Agglomeration degree

⁴ Vinyltrimethoxysilane or VTMS

⁵ Vinylsiliconetriol

⁶ Methacryloxypropylsilane or MPS

زیستسازگاری نانوذرات آهن، عاملدارکردن این نانوذرات را تسهیل می‌نماید [۸۳]. Ag و Au از جمله فلزات نجیب هستند که به دلیل ساختار شیمیایی پایدار، سازگاری زیستی، مقاومت در برابر اکسایش و خوردگی معمولاً جهت اصلاح سطحی IONPs مورد استفاده قرارمی‌گیرند. در ادامه، به بررسی موارد استفاده از این دو ماده جهت پوشش سطح نانوذرات اکسید آهن می‌پردازیم.

۲-۲-۳ - طلا (Au)

پس از اصلاح سطحی نانوذرات با Au نه تنها پایداری تحت شرایط فیزیولوژیک و قابلیت اتصال به لیگاندها در نانوذرات بهبود می‌باید، بلکه از تشکیل رادیکالهای آزاد نیز جلوگیری می‌شود. به طور کلی دو روش مستقیم و غیر مستقیم جهت ایجاد پوسته Au روی نانوذرات وجود دارد (شکل ۳). در روش مستقیم لایه Au به طور مستقیم با استفاده از عوامل کاهنده مانند سدیم سیترات^۳ و سدیم بورهیدرید^۴ در محیط آبی یا آلی روی سطح نانوذرات آهن تشکیل می‌شود؛ این درحالی است که در روش غیر مستقیم از بسپارها، SiO₂ یا C به عنوان لایه چسبنده بین هسته آهن و پوسته Au استفاده می‌شود. وظیفه این لایه چسبنده بهبود پایداری نانوذرات Au و سهولت تشکیل پوسته Au بروی آن است [۸۴-۸۹].

در یک پژوهش، با بهره‌گیری از روش مایسل معکوس نانوذرات اکسید آهن، به روش هسته-پوسته به وسیله Au اصلاح شدند. متوسط اندازه نانوذرات تولیدی nm ۸ بود که به طور متوسط قطر هسته nm ۶ و ضخامت پوسته nm ۲-۱ گزارش شد. سپس نانوذرات تولیدی تحت میدان مغناطیسی ۵T، به هم متصل شدند و به صورت پیوندها و زنجیرهای نانو^۵ موازی به طول ۱۰ میکرومتر، آرایش یافتند. به منظور سنتز کنترل شده نانوذرات مغناطیسی Fe₃O₄-Au-CS، فرآیندی سریع و آسان ارائه شد. از CS با هدف حفظ بیشتر پایداری نانوذرات استفاده شد. خواص نانوذرات، متوسط اندازه ذرات از nm ۹,۸ به ۱۵ افزایش یافت. کاربرد نانوذرات سنتزی در صنعت پرشکی از جمله تشخیص و درمان سلولهای سرطانی است [۹۰]. در یکی از مقالات دیگر، سنتز نانوذرات مغناطیسی اکسید آهن پوشش داده شده با Au در فاز آبی گزارش شده است. پوشش‌دهی ذرات توسط طلاسیترات^۶ (از طریق کاهش سیترات یون Au³⁺) صورت گرفت. در آخر لیگاند تریپتین^۷ به سطح پیوند زده شد. متوسط اندازه ذرات پوشش داده شده با nm Au ۳۰ و ذرات کروی شکل بودند. خواص این نانوذرات در ادامه مورد مطالعه

مثال، با افزایش مقدار TEOS از ۳۰۰ به ۷۵ nm به ۱۳,۳ nm افزایش یافت. با افزایش ضخامت پوسته مغناطیس اشباع کاهش یافت. باید مذکور شد که ضخامت پوسته برای کاربردهای زیستی از اهمیت بالایی برخوردار است [۷۹]. آقای فی و همکارانش، نانوذرات مگنتیت را به وسیله سیلیکا متخلخل^۸ با ضخامت‌های متفاوت اصلاح و از آنها در عکسبرداری MRI استفاده کردند. آنها نشان دادند که پوشش mSiO₂ تأثیر قابل توجهی در کنتراست عکسبرداری MRI دارد و کنتراست T₂، ۲۱ برابر بیشتر از میزان کنتراست نمونه تجاری است. همچنین، زیستسازگاری نانوذرات پوشش داده شده با اندازه‌های متفاوت با استفاده از سلول OC-k3 مورد ارزیابی قرار گرفت. در این بررسی بیشتر سلولها زنده ماندند. متوسط اندازه ذرات پس از اصلاح سطح و با تغییر میزان آن از ۱۲ nm به ۹۵-۲۵ nm افزایش یافت [۸۰]. تأثیر پوشش دولایه معدنی آلومینوسیلیکات^۹ و لایه آلی PEG اطراف نانوذرات اکسید آهن توسط قره آگاجی و همکارانش مورد مطالعه قرار گرفت. نتایج نشان داد اندازه نانوکامپوزیت‌های کروی شکل بین ۱۷۰-۲۰۰ nm است. براساس مطالعات پیشین این گروه تحقیقاتی، اندازه متوسط نانوذرات مگنتیت در حدود ۲۰ nm و اندازه نانوکامپوزیت بدون پوشش ۱۸۰-۱۲۰ nm بود. بنابراین با پوشش‌دهی، متوسط اندازه ذرات افزایش یافت. در این مطالعه و حتی در بیشترین غلظت از نانوکامپوزیت‌ها، درصد زنده‌مانی سلولی بیشتر از ۹۰% بود که بینگر زیستسازگاری این نانوذرات است. پوشش به دلیل ساختار حفره‌ای و کانالی، فضای وسیعی را برای حضور نانوذرات اکسید آهن فراهم می‌کند و می‌تواند بهره‌وری بالاتری در ایجاد کنتراست منفی تصویر MRI ایجاد کند. این نانوکامپوزیت می‌تواند در زمینه دارورسانی نیز بکار رود [۸۱]. در پژوهشی دیگر، نانوذرات Fe₃O₄ با پوشش معدنی SiO₂ به کمک روش Sol-Gel اصلاح شدند. با افزایش ترکیب درصد مگنتیت به SiO₂ اندازه ذرات کاهش یافت. اشباعیت مغناطیسی نانوذرات پوشش‌دهی نانوذرات با SiO₂ کاهش و درصد زنده‌مانی سلولی مناسب و فوق العاده بود (۶۴,۱ emu/g). سمیت سلولی با پوشش‌دهی نانوذرات با SiO₂ در مدت ۴۸ ساعت افزایش یافت. کاربرد این ذرات در حوزه زیست‌پژوهشی علل خصوص تشخیص سلولهای زیستی، دارورسانی و درمان است [۸۲].

۲-۲-۳ - فلزات

اصلاح سطحی نانوذرات با استفاده از فلزات منجر به تشکیل یک لایه بی‌اثر با ساختار هسته-پوسته یا دمبلی‌شکل می‌شود. این پوشش فلزی علاوه بر بهبود پایداری و

^۳ Sodium citrate or SC

^۴ Sodium borohydride or SBH

^۵ Nano-bands

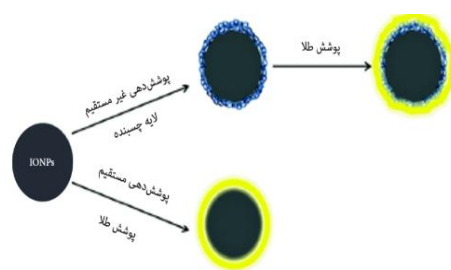
^۶ Gold citrate

^۷ Tryptin

۲-۲-۳- نقره (Ag)

Ag و ترکیبات آن دارای قدرت ضد میکروبی بالا و قابلیت مهارکنندگی طیف گسترده‌ای از میکروبها، باکتری‌ها و ویروس‌ها است. علاوه بر این خاصیت رزونانس پلاسمون سطحی Ag در محدوده نور مرئی به طور گسترده در بررسی فعل و افعالات بین مولکولی کاربرد دارد. در مقایسه با سایر حسگرهای زیستی استفاده از حسگرهایی بر پایه رزونانس پلاسمون سطحی دارای مزایای بسیاری از جمله شناسایی بدون نیاز به برچسب‌گذاری، حجم کم نمونه و انجام در زمان واقعی است. این ویژگی‌ها استفاده از رزونانس پلاسمون سطحی را به یک روش آسان و قابل اطمینان جهت شناسایی مولکولی تبدیل کرده است. در یک بررسی سانگ و همکارانش، ساختارهای هسته-پوسته $\text{Fe}_3\text{O}_4/\text{SiO}_2$ و $\text{Fe}_3\text{O}_4/\text{Ag}/\text{SiO}_2$ را جهت استفاده در حسگرهای زیستی سنتز کردند. گروه‌های آلدهید موجود بر سطح نانوذرات اصلاح شده (گروه آلدھید ایجاد شده پس از پوشش‌دهی با TEOS و APTMS و ایجاد اتصال عرضی با (GA) امکان تجزیه زیستی را فراهم می‌آورد. بررسی‌ها حاکی از بهبود خواص حسگر به دلیل خواص رزونانس پلاسمون سطحی در محدوده نور مرئی و فرابنفش بود. این در حالی است که Ag پوشش SiO_2 قابلیت ثثیت مولکولهای زیستی را داشت. حسگر زیستی ساخته شده از این ترکیب دارای خاصیت مغناطیسی، زیست‌سازگاری و حساسیت مناسب بود [۹۵]. در یکی از مطالعات، نانوذرات مغناطیسی اکسید آهن با پوشش Ag به روش میکروامولسیونی آب در روغن سنتز و خاصیت آنتی‌باکتریال ذرات بررسی شد. اندازه نانوذرات مغناطیسی اصلاح شده 20 ± 60 nm بود. نتایج آزمون‌های آنتی‌باکتریال حاکی از آن بود که نانوذرات از رشد و تکثیر باکتری‌های دارای خاصیت آنتی‌باکتریال هستند [۹۶]. چن و همکاران با استفاده از واکنش درجا روی سطح نانوذرات اکسید آهن را با لایه‌ای از جنس Ag پوشش دادند. استفاده از پوسته Ag منجر به ایجاد خواص آنتی‌باکتریال گردید. نانوذرات هسته-پوسته تولیدی دارای ابعاد در حدود 20 nm بودند و در دمای اتاق خاصیت مغناطیسی از خود نشان دادند [۹۷]. شائو و همکارانش، با بهره‌گیری از IONPs پوشش داده شده با Au@Au-Ag به شناسایی انتروتوكسین^۵ در موادغذایی به کمک پرتو رامان پرداختند. انتروتوكسین یکی از عوامل آلوده کننده مواد غذایی است که آثار مخربی بر سلامت انسان‌ها دارد [۹۸]. کائو و همکارانش از نانوذرات Fe_3O_4 اصلاح شده با Ag جهت تصویربرداری CT Scan درون تن بهره برداشتند [۹۹]. دو و

قرار گرفت. اشباعیت مغناطیسی نانوذرات اصلاح شده با Au بیشتر از نانوذرات بدون پوشش بود. نانوذرات تولید شده دارای خاصیت سوپرپارامغناطیس بودند [۹۱]. IONPs پوشیده شده با پوسته‌ای نازک از جنس Au توسط فاروق و همکاران سنتز شد (ضخامت پوسته $0.5-0.4$ nm). از این نانوذرات در درمان هایپرترمیا استفاده شد. با اعمال میدان مغناطیسی نوسانی فرکانس پایین، میزان حرارت آزادشده از نانوذرات اصلاح شده با Au (اندازه ذرات 6.3 nm) 4 تا 5 برابر میزان حرارت آزادشده از نانوذرات بدون پوشش (اندازه ذرات 5.4 nm) بود. همچنین در محیط کشت سلولهای سرطان سینه MCF-7 و سلولهای میوبلاست قلبی^۱ H9c2 حضور نانوذرات مگنتیت با پوشش Au منجر به بروز هیچگونه سمیت سلولی نشد [۹۲]. در یکی دیگر از مقالات، از نانوذرات اکسید آهن با پوشش Au در تصویربرداری MRI استفاده شد. در غلظت‌های پایین از یون آهن، نانوذرات پوشش داده با Au زیست‌سازگار بودند، این در حالی است که با افزایش غلظت آهن درصد زنده‌مانی سلول‌ها $80.88 \pm 5.03\%$ کاهش یافت. حضور نانوذرات اصلاح شده با Au با بهره‌وری بالاتری منجر به ایجاد کنتراست منفی در تصویربرداری MRI شد. غلظت بهینه جهت دستیابی به تصاویر باوضوح بالا در بدن موجودات زنده، (وزن موجود زنده) $6\text{mg}/100\text{g}$ تعیین شد [۹۳]. در سال 2017 اصلاح سطح نانوذرات مگنتیت با Au به منظور دستیابی به خاصیت پلاسمون رزونانس موضعی^۲ توسط سوود و همکاران انجام شد. سدیم آلزینات تیولات^۳ جهت پایداری نانوذرات مگنتیت اصلاح شده با Au مورد استفاده قرار گرفت. نتایج حاکی از آن بود که متوسط اندازه ذرات 2.1 ± 8.1 nm است. اشباعیت مغناطیسی از 41emu/g به 24emu/g با پوشش‌دهی توسط کاهش یافت. بازده بارگذاری داروی کورکومین^۴ توسط این نانوذرات 72.8% بود. کاربرد نانوذرات مگنتیت پوشش داده شده با Au در داروسرانی هدفمند و عکسبرداری MRI و CT scan است [۹۴].



شکل ۳. روش‌های متفاوت پوشش‌دهی نانوذرات اکسید آهن با Au

^۱ Cardiomyoblasts

^۲ Surface Plasmon Resonance or SPR

^۳ Sodium alginate thiolate

^۴ Curcumin

۳- اتصال لیگاندهای هدف به سطح نانوذرات

همانطور که پیشتر در مقدمه به آن اشاره شد، از نانوذرات بايوفانكشنالايز شده در اتصال يا ثابت نمودن^۰ مواد بيلوژيک مانند ليگاند های با وزن مولکولي کم، پپتيدها، پروتئينها، پل ساكاريد ها، اسيدها، چرب غير اشبع^۱، DNA، پلاسميد ها^۷ و siRNA استفاده می شود. علت استفاده از اين مواد بيلوژيک شناسایي هدفمند يا رساندن نانوذرات به قسمت مشخصی از بدن با هدف درمانی يا تشخيصی است. در گذشته برای جلوگیری از جذب نانوذرات توسط سیستم ایمنی بدن (RES) از نانوذرات در مقادیر کم استفاده می شد که بزرگترین چالش استفاده از نانوذرات در تصويربرداری از تومورها يا درمان تومورها بود. اما با اتصال مواد زیستی، علل خصوص آنتی بادی ها، این مشکل مرتفع شده است. از سوی دیگر نوع اتصال آنتی بادی يا ماده زیستی مسأله مهم دیگریست که به ماده پوشش دهنده سطح نانوذرات و همچنین نوع ليگاند وابسته است. بنابراین، با توجه به اينکه ليگاند ها دارای گروه های عاملی متفاوتی هستند، اين نکته که اتصال ليگاند به نانوذره از کدام بخش صورت می گيرد بر روی عملکرد نانوذرات اصلاح شده موثر واقع خواهد شد [۱۰۸، ۱]. اين در حالیست که استفاده بيش از حد مجاز (در غلظت و دوزهای بالا) از نانوذرات مغناطيسی اکسید آهن منجر به بروز عوارض جانبی خواهد شد.

٤- عوارض جانبی

در کاربردهای In-vivo بدن انسان قادر است نانوکریستال‌های اکسید آهن به یون‌های Fe متابولیسم و از یون‌ها در فرآیندهای بیولوژیک استفاده کند اما افزایش غلظت یون‌های Fe و هموستاز نامتعادل یون‌ها منجر به واکنش‌های سلولی می‌شود. بر این اساس، به طور کلی استفاده از نانوذرات مگنتیت ایمن است اما استفاده از آن‌ها در دوزهای بالا می‌تواند باعث ایجاد سمیت سلولی، اختلال در عملکرد DNA و میتوکندری، اسهال^۸، حالت تهوع^۹ و کهیر^{۱۰} شود. پس باید دوز موثر درمانی جهت هر کاربرد از پیش برای آن‌ها تعیین شود [۱۰۹].

۵- کاربرد نانوذرات اکسید آهن

نانوذرات اکسید آهن با توجه به زیست‌سازگاری، خاصیت ابرمغناطیس، قابلیت انتقال الکترون در زمینه پژوهشی از جمله

همکارانش، از نانوذرات هسته-پوسته اکسید آهن و Ag جهت شناسایی گونه‌های متفاوت آرسنیک^۱ استفاده کردند [۱۰۰].

۲-۲-۴- اکسید و سولفید فلزات

اصلاح سطح نانوذرات مگنتیت با استفاده از اکسید فلزات باعث بهبود پایداری و افزایش میزان حرارت تولیدشده در درمان سرطان به روش هایپرترمیا می شود. اقzoن بر این، نانوذرات را می توان با سولفید فلزاتی مانند کادمیوم، روی، سرب و بیسموت پوشش دهی کرد و باعث بهبود خاصیت مغناطیسی و خاصیت فلورسانس آنها نیز شد [۲۷]. نانوذرات اکسید آهن با کadmiumsulfide/روی سولفید توسط ژو و همکاران در سال ۲۰۱۰ پوشش داده شد. متوسط اندازه ذرات ۵ nm بود و نانوذرات دارای خاصیت سوپرپارامغناطیس و تابش فوتونهای نوری بودند. هیچ گونه سمیت سلولی هنگامی که غلظت سلولهای سرطانی Panc-I زیر $50\mu\text{g}/\text{ml}$ یا $200\mu\text{g}/\text{ml}$ بود، مشاهده نشد. این نانوذرات موفق شدند تا با استفاده از تابش الکترومغناطیس در فرکانس رادیویی، آپوپتوz^۲ (مرگ سلولی برنامه ریزی شده) را در سلولهای سرطانی پانکراس القا کنند.

(Carbon) کرن - ۲-۲-۵

پوشش‌های پایه کربن کاربردهای وسیعی در صنایع متفاوت پژوهشکی دارند [۱۰۴-۱۰۲]. این مواد از اکسیداسیون و خوردگی هسته مغناطیسی جلوگیری می‌کنند. همچنین پوشش‌های آبدوست کربنی باعث بهبود اتحلال‌پذیری و پایداری می‌شوند [۲۷]. در یکی از مطالعات، نانوذرات مغناطیسی اکسید آهن به روش هم‌رسوبی سنتز و توسط گرافن اکساید، لاکتوفرین، و DOX اصلاح سطح شدند. نانوذرات تولیدی دارای ابعاد بین ۱۰۰۰-۲۰۰ nm بودند و استفاده از آن‌ها در داروسانی هدفمند (داروهای ضد سرطان) به تومورهای مغز علاوه بر بازدهی بالایی، بسیار موفقیت‌آمیز بود. نتایج حاکی از تغییرات سرعت رهایش دارو با تغییر pH Nیز بود [۱۰۵]. در پژوهشی دیگر گزارش شد، نانوذرات مگنتیت پوشش داده شده با GO، FA و CS و ابعاد ۴۰۰ nm تا ۱۲۰۰ nm در حضور سلول‌های A549 فاقد سمیت و زیست‌سازگار هستند [۱۰۶]. در یکی دیگر از مقالات، GO برای اصلاح سطح نانوذرات اکسید آهن مورد استفاده قرار گرفت و کاربرد این ذرات در درمان سرطان به روش هایپرترمیا بررسی شد. نتایج نشان داد در غلظت‌های زیر 0.35 mg/ml بیش از ۶۸٪ سلول‌ها زنده ماندند. بهره‌وری ضد تومور نمونه PEG-GO-NP علیه سلول‌های سرطانی T4 ۴ مosh فرق العاده است [۱۰۷].

⁵ Immobilization

⁶ Low molecular weight ligands, Peptides, Proteins, Polysaccharides, Polyunsaturated fatty acid

7 Plasmids

⁸ Diarrhea

9 Nausea

10 Urticaria

¹ Arsenic or As

Volume 30 Number 1

³ Graphene oxide or GO

4 Lactoferrin

بررسی قرار گرفته است. IONPs با پوشش سطحی مناسب قادر به جداسازی سلول هدف از ماتریس نمونه هستند. لو و همکارانش از نانوذرات اکسید آهن اصلاح شده با PEI با ابعاد حدودا ۱۲,۷ nm ۱۲,۷ جهت جداسازی سلولهای سرطانی ریه از خلط برای تجزیه و تحلیل های سیتوپاتولوژیکی بهره بردن. با استفاده از این نانوذرات که به آنتی بادی های ویژه ای متصل اند، امکان جداسازی سلولهای سرطانی از خون تازه وجود دارد [۱۱۳]. در مطالعه‌ی دیگری، از نانوذرات Fe_3O_4 اصلاح شده با بسیارها برای جداسازی استروئید از نمونه های بیولوژیکی استفاده شد [۱۱۴]. در یکی دیگر از پژوهش ها، حقیقی و همکارانش، از نانوذرات مگنتیت پوشش داده با APTES و متصل به آنتی بادی HER2 برای تشخیص و جداسازی سلولهای سرطان سینه SK-BR-3 استفاده کردند. نتایج حاکی از آن بود که نانوذرات توانایی جداسازی سلولهای سرطانی از خون در مقادیر کم (کمتر از ۱۰۰ سلول در ۱ ml) را دارند [۱۱۵]. در ادامه‌ی همین پژوهش، حقیقی و همکارانش مقدار بهینه آنتی بادی HER2 برای جداسازی سلولهای سرطان سینه SK-BR-3 را تعیین کردند. نتایج نشان داد مقدار بهینه آنتی بادی برای واکنش با نانوذرات اکسید آهن با پوشش APTES ۰,۰۰۲۲ میلیگرم است [۱۱۶].

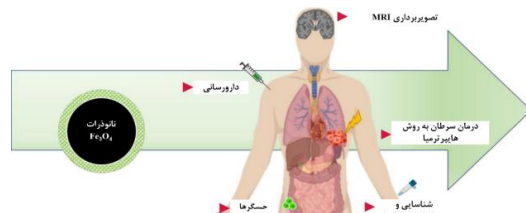
۴-۵- ژن رسانی

تحویل دهنده‌های ژن به دو دسته واسطه‌های ویروسی و غیر ویروسی تقسیم می‌شوند [۱۱۷]. با وجود اینکه انتقال ژن از طریق واسطه‌های ویروسی مشکلاتی از جمله تشکیل تومور، خودایمنی و انتشار سریع دارند [۱۱۸]، نانوذرات اکسید آهن اصلاح شده قابلیت انتقال ژن‌های متفاوت از جمله DNA، پلasmیدها، میکرو RNA و همان‌ها کوچک مخلخل، از طریق اندوسیتوز تحت میدان مغناطیسی خارجی به سلول را بازده بالا داراست. از این رو، نانوذرات اکسید آهن اصلاح شده به عنوان عوامل انتقال ژن ارزان قیمت، با سمیت کم و بازده

۵-۵- داروساز، هدفمند

در روش‌های قدیمی داروسانی، دارو پس از تزریق توسط جریان خون در سرتاسر بدن منتقل می‌شد و نه تنها مقدار کمی از این دارو به اندام هدف می‌رسید بلکه دارو در اندام‌های سالم نیز آزاد می‌شد و عوارض جانبی برای این اندام‌ها داشت. دارورسانی هدفمند روشی برای انتقال دارو به اندام هدف از طریق خون می‌باشد که بازدهی دارورسانی به طور چشمگیری افزایش می‌یابد و از بروز عوارض جانبی در سلول‌های سالم نیز جلوگیری می‌شود [۱۲۰]. نانوذراتی که ابعادی کمتر از ۱۰ nm دارند به سرعت از بافت کلیه عبور و از جریان خون حذف می‌گردند. از این رو نمی‌توانند نقشی در رساندن دارو به اندام‌های

انتقال ژن، داروسانی هدفمند، تصویربرداری MRI و غیره کاربرد گستردگی دارند. شکل ۴ برخی از کاربردهای این نانوذرات نمایش می‌دهد [۲۷].



شکل ۴. کاربردهای تشخیص-دهنده نانوذرات Fe_3O_4

۱-۵- حسگرها یا بیوحسگرها

بیوحسگرها ابزارهای حساس به مواد بیولوژیک هستند و غلظت مواد زیستی را به سینکلت‌های الکتریکی جهت شناسایی تبدیل می‌کنند. نانوذرات اکسید آهن به دلیل انژری سطحی بالا و خاصیت سوپرپارامغناطیسی توجه زیادی را در این زمینه به خود جلب کرده‌اند. به عنوان مثال، گروههای فعال سطحی در نانوذرات اصلاح شده امکان اتصال آنتن‌بادی‌ها با توانایی شناسایی پروتئین‌های خاص را فراهم می‌آورد. دولچی و همکارانش با بهره‌گیری از خاصیت رزونانس پلاسمون سطحی حسگرهایی با توانایی شناسایی بسیار بالا تهیه کردند. در نتیجه نانوذرات اکسید آهن قادر به بهبود حساسیت و افزایش هدف‌گیری حسگرها هستند [۱۱۰].

٥-٢- فعالیت ضد یاکتریایی

امروزه با پیدایش باکتری‌های مقاوم به آنتیبیوتیک‌ها، یافتن جایگزینی مناسب برای آن‌ها از اهمیت بالایی برخوردار است. نانوذرات اکسید آهن اثربخشی قابل قبول در مهار باکتری‌های مقاوم به آنتیبیوتیک از خود نشان داده‌اند. شاه و همکارانش دریافتند نانوذرات Fe_3O_4 اصلاح شده با GA به دلیل زیست‌سازگاری، آبدوستی و خواص آنتیاکسیدانی تقویت‌شده قابلیت استفاده در مقیاس صنعتی را دارا هستند. افزون بر این، سطح بزرگ نانوذرات امکان ایجاد پیوند مستحکم به سطح باکتری، آسیب به غشاء سلولی و نشت دارو به درون سلول‌های باکتریایی را فراهم آورد و در نهایت باکتری را از بین برد [۱۱۱]. اسماعیل و همکارانش دریافتند نانوذرات با ابعاد کوچکتر قابلیت نفوذ بیشتری به درون غشاء سلول‌های باکتریایی و از بین برد آن‌ها را دارند. از این رو، توسعه روش‌های سنتز و پوشش‌دهی نانوذرات برای استفاده در کاربردهای بارکت‌پاک، از اهمیت ویژه‌ای در خوددار است [۱۱۲].

٣-٥- حداسازی سلولی

با توجه به خواص منحصر به فرد نانوذرات اکسید آهن از جمله خاصیت سوپر پارامغناطیسی و زیست‌سازگاری اخیراً امکان استفاده از این نانوذرات در جداسازی‌های سلولی مورد

نانوذرات توسط RES (سیستم ایمنی بدن) جلوگیری کرد [۱۳۲و۱۳۱].

نتیجه‌گیری

با توجه به مطالب یاد شده، هر کدام از مواد اصلاح‌کننده‌ی سطحی خواص منحصر به فردی از خود به نمایش می‌گذارند. به عنوان مثال اسید اولئیک یکی از رایج‌ترین پوشش‌های سطحی (از گروه مواد فعال سطحی آلی) برای نانوذرات اکسید آهن است که با توجه به عدم ایجاد سمیت در خون، زیست‌سازگاری، بهبود پایداری نانوذرات و غیره به منظور تصویربرداری MRI، توجه بسیاری از پژوهشگران را به خود معطوف کرده است. ماده‌ی دیگری که جهت اصلاح سطحی نانوذرات اکسید آهن بکار رفته است، دکستران (از گروه بسپارها) است که نه تنها از تجمع ذرات جلوگیری می‌کند بلکه زمان چرخش نانوذرات در خون را افزایش می‌دهد و پایداری کلئنیدی نانوذرات را نیز بهبود می‌بخشد. از این رو، استفاده از نانوذرات Fe_3O_4 اصلاح شده با DEX در کاربردهای نظری تشخیص و درمان سلول‌های سرطانی بارها گزارش شده است. به علاوه، ترکیباتی با گروه‌های عاملی سیلانی مانند APTES (از گروه مواد معدنی) نیز به دلیل حضور گروه‌های هیدروکسیل و الکوکسی متعدد در ساختار خود، پس از پوشش‌دهی نانوذرات اکسید آهن قابلیت انتقال ژن‌ها با بازدهی بالا بدون ایجاد سمیت سلولی قابل ملاحظه را دارند. بنابراین، می‌توان نتیجه گرفت که با مدنظر قرار دادن کاربرد نهایی نانوذرات مغناطیسی، برای پوشش‌دهی باید از مواد با ویژگی‌ها یا گروه‌های عاملی مرتبط استفاده شود. لازم به ذکر است که جهت درمان و تشخیص هدفمند می‌توان از پوشش‌ها با گروه‌های عاملی متفاوت متناسب با نوع ترکیبات موجود بر روی مواد زیستی یا داروی هدف استفاده کرد.

۶. منابع

- [1] M. I. J. Denison, RSC advances, 5(121), 99820-99831, (2015).
- [2] M. G. Pineda, Molecules, 19(7), 9273-9287, (2014).
- [3] A. S. Pina, Water research, 66, 160-168, (2014).
- [4] M. Jafarzadeh, RSC advances, 5(53), 42744-42753, (2015).
- [5] M. A. Zulfikar, Environmental Nanotechnology, Monitoring & Management, 6, 64-75, (2016).
- [6] G. Huang, Journal of materials chemistry, 19(35), 6367-6372, (2009).
- [7] N. A. Frey, Chemical Society Reviews, 38(9), 2532-2542, (2009).
- [8] J. Boudon, Chemical Communications, 49(67), 7394-7396, (2013).
- [9] P. Shete, Journal of Magnetism and Magnetic Materials, 377, 406-410, (2015).
- [10] A. Ruiz, Acta biomaterialia, 9(5), 6421-6430, (2013).

هدف بازی کنند. بعد از بهینه نانوذرات، به منظور افزایش مدت زمان چرخش در جریان خون بین ۱۰-۱۰۰ nm است. پوشش‌دهی نانوذرات، پایداری آنها در جریان خون و امکان اتصال آنتی‌بادی‌ها و آنتی‌ژن‌ها به آنها را به دنبال دارد، و در نتیجه داروسانی بهبود می‌یابد [۱۲۱]. نانوذرات اکسید آهن اصلاح‌شده با PEG به دلیل خاصیت مغناطیسی و پایداری‌شان در بدن برای انتقال هدفمند دارو مورد استفاده قرار گرفته است [۱۲۲]. شایان ذکر است که رهایش دارو درون سلول نیز از جمله مراحل مهم داروسانی هدفمند است که به اندازه ذرات، میزان چسبندگی آنها به غشاء سلولی و توانایی اندوسیتوز سلول وابسته است [۱۲۳].

۵-۶- هایپرترمیا

IONPs از مواد فرماغناطیسی هستند که قابلیت گرمایش تحت میدان‌های مغناطیسی متنابض را دارا هستند [۱۲۴و۱۲۵]. با افزایش دمای نانوذرات مغنتیت منتقل شده به تومور تا دمای 41°C تا 47°C تحت میدان متنابض امکان از بین بردن تومور وجود دارد [۱۲۶]. افزایش دما باعث جلوگیری از رشد، تغییر ساختار و ماهیت پروتئین‌ها و آنزیم‌ها درون تومور می‌شود [۱۲۷]. استفاده از این روش درمانی به سلول‌های سالم آسیب نمی‌رساند. اگرچه این روش درمان توجه زیادی به خود جلب کرده است اما بکارگیری این روش به منظور درمان تومورهای سرطانی بافت‌های حساسی مانند مغز و کلیه در حال حاضر امکان‌پذیر نیست [۱۲۸].

۵-۷- تصویربرداری تشدید مغناطیسی (MRI)

یکی از تکنیک‌های جدید تصویربرداری پزشکی مبتنی بر اصل مغناطیسی هسته‌ای است. نانوذرات Fe_3O_4 با توجه به خواص مغناطیسی و زیست‌سازگاری مناسب به کمک میدان مغناطیسی بیرونی امکان هدف قرار دادن سایت مورد نظر را دارا هستند [۱۲۹]. ناحیه آسیب‌دیده با توجه به تفاوت پاسخ مغناطیسی سلول‌های سالم و پاتولوژیک قابل تعیین می‌باشد. در این کاربرد از نانوذرات به عنوان عامل تشدید رزونانس MRI مغناطیسی بهره برده می‌شود [۱۳۰]. در تصویربرداری نانوذرات مغناطیسی پس از تزریق توسط سلول‌های کوپفر^۱ بافت کبد^۲، طحال^۳، کلیه^۴ و مغز استخوان^۵ دفع می‌شوند. با توجه به جذب سریع نانوذرات در این بافت‌ها پس از تزریق، دفع نیز به سرعت اتفاق می‌افتد. بنابراین مدت زمان حضور نانوذرات در موضع هدف برای تصویربرداری کوتاه خواهد بود و تشخیص با دقت پایینی صورت می‌گیرد. با تنظیم و کنترل اندازه، ریخت‌شناسی، پوشش‌سطح و غیره می‌توان از دفع سریع

¹ Kupffer cells

² Liver

³ Spleen

⁴ Kidney

⁵ Bone marrow

- [39] K. Pethcharoen, Materials Science and Engineering: B, 177(5), 421-427.
- [40] H. Mohammadi, Toxicology Reports, 8, 331-336, (2021).
- [41] W. Ling, Journal of Materials Research, 34(11), 1828-1844, (2019).
- [42] S. Nigam, Journal of Magnetism and Magnetic Materials, 323(2), 237-243, (2011).
- [43] I. L. Ardelean, Journal of Nanomaterials, (2017).
- [44] M. Radwan, Journal of Chemical Technology & Metallurgy, 54(2), (2019).
- [45] F. Shahidi, Advances in food and nutritions research, 49(4), 93-137, (2005).
- [46] M. Ziegler-Borowska, Journal of Thermal Analysis and Calorimetry, 119(1), 499-506, (2015).
- [47] F. Ahangaran, International Nano Letters, 3(1), 1-5, (2013).
- [48] T. Chen, IOP Conference Series: Earth and Environmental Science, 108, 042097, (2018).
- [49] K. Boustani, IET Nanobiotechnology, 12(1), 78-86, (2018).
- [50] F. Sonvico, Bioconjugate chemistry, 16(5), 1181-1188, (2005).
- [51] M. Yu, International journal of molecular sciences, 13(5), 5554-5570, (2012).
- [52] A. M. Predescu, Royal Society open science, 5(3), 171525, (2018).
- [53] R. Avazzade, Progress in biomaterials, 6(3), 75-84, (2017).
- [54] X. Zhao, PLoS One, 9(6), e98919, (2014).
- [55] I. Karimzadeh, Journal of Magnetism and Magnetic Materials, 433, 148-154, (2017).
- [56] B. Steitz, Journal of Magnetism and Magnetic Materials, 311(1), 300-305, (2007).
- [57] M. Arsianti, Biomacromolecules, 11(9), 2521-2531, (2010).
- [58] S. D. Topel, Colloids and Surfaces B: Biointerfaces, 128, 245-253, (2015).
- [59] R. Tutuianu, Nanomaterials, 7(10), 314, (2017).
- [60] J. Yang, Applied surface science, 303, 425-432, (2014).
- [61] J. Sun, Journal of biomedical materials research Part A, 80(2), 333-341, (2007).
- [62] Z. Tu, Colloids and surfaces A: Physicochemical and engineering aspects, 436, 854-861, (2013).
- [63] B. Zhang, Applied surface science, 266, 375-379, (2013).
- [64] F. Hajesmaeelzadeh, Iranian journal of basic medical sciences, 19(2), 166, (2016).
- [11] Y. Sahoo, The Journal of Physical Chemistry B, 109(9), 3879-3885, (2005).
- [12] A. K. Gupta, (2007).
- [13] S. Sheng-Nan, Chinese Physics B, 23(3), 037503, (2014).
- [14] M. Mahmoudi, Advanced drug delivery reviews, 63(1-2), 24-46, (2011).
- [15] S. Laurent, Chemical reviews, 108(6), 2064-2110, (2008).
- [16] H. Li, Z. Lu, (2014).
- [17] G. Sharma, RSC advances, 3(1), 189-200, (2013).
- [18] C. Okoli, Langmuir, 28(22), 8479-8485, (2012).
- [19] I. Karimzadeh, Current Nanoscience, 13(2), 167-174, (2017).
- [20] I. Morjan, Journal of nanoscience and nanotechnology, 10(2), 1223-1234, (2010).
- [21] M. Abbas, Journal of Nanoparticle Research, 15(1), 1-12, (2013).
- [22] J. Wang, Journal of Power Sources, 282, 257-264, (2015).
- [23] E. Solano, Journal of Nanoparticle Research, 14(8), 1-15, 2012.
- [24] R. Strobel, Journal of Materials Chemistry, 17(45), 4743-4756, (2007).
- [25] J. Xie, Advanced Materials, 19(20), 3163-3166, (2007).
- [26] J. Wallyn, Pharmaceutics, 11(11), 601, (2019).
- [27] A. A. Hernández-Hernández, Chemical Papers, 74, 3809-3824, (2020).
- [28] M. Sakeye, Langmuir, 28(49), 16941-16950, (2012).
- [29] A. Agarwala, Chemical Communications, 50(40), 5397-5399, (2014).
- [30] D. An, Colloids and Surfaces A: Physicochemical and Engineering Aspects, 348(1-3), 9-13, (2009).
- [31] H. Bala, Colloids and Surfaces A: Physicochemical and Engineering Aspects, 274(1-3), 71-76, (2006).
- [32] M. Neouze, Monatshefte für Chemie-Chemical Monthly, 139(3), 183-195, (2008).
- [33] D. Portet, Journal of colloid and interface science, 238(1), 37-42, (2001).
- [34] M. Mahdavi, Molecules, 18(7), 7533-7548, (2013).
- [35] P. I. Soares, Applied Surface Science, 383, 240-247, (2016).
- [36] L. Zhang, Applied Surface Science, 253(5), 2611-2617, (2006).
- [37] F. Senturk, Natural and Applied Science Journal, 2(2), 16-29, (2019).
- [38] Y. Sahoo, Langmuir, 17(25), 7909-7911, (2001).

- [91] H. Sun, European Journal of Inorganic Chemistry, 2013(1), 109-114, (2013).
- [92] H. Salehizaeh, Journal of nanobiotechnology, 10(17), 1-7, (2012).
- [93] P. G. Rudakovskaya, Mendeleev Communications, 3(20), 158-160, (2010).
- [94] F. Mohammad, The journal of Physical Chemistry C, 114(45), 19194-19201, (2010).
- [95] S. D. Iancu, International Journal of Nanomedicine, 15, 4811, (2020).
- [96] A. Sood, Materials Science and Engineering: C, 80, 274-281, (2017).
- [97] L. Wang, Colloids and Surfaces B: Biointerfaces, 84(2), 484-490, (2011).
- [98] P. Gong, Nanotechnology, 18(28), 285604, (2007).
- [99] S. Chen, J. Func. Mater., 48, 03097, (2017).
- [100] B. Shao, Analytica chimica acta, 1033, 165-172, (2018).
- [101] G. Gao, CrystEngComm, 14(22), 7556-7559, (2012).
- [102] F. S. Majedi, physica status solidi (RRL)-Rapid Research Letters, 6(7), 318-320, (2015).
- [103] A. Allahbakhsh, Journal of Thermal Analysis and Calorimetry, 128(1), 427-442, (2017).
- [104] A. Allahbakhsh, Journal of Thermal Analysis and Calorimetry, 117(2), 525-535, (2014).
- [105] J. Du, Chemical Communications, 50(30), 347-349, (2014).
- [106] Y. Xu, The Journal of Physical Chemistry C, 114(11), 5020-5026, (2010).
- [107] M. M. Song, Materials Science and Engineering: C, 77, 904-911, (2017).
- [108] X. Cui, Chemical Engineering Journal, 326, 839-848, (2017).
- [109] P. J. Sugumaran, ACS applied materials and interfaces, 11(25), 22703-22713, (2019).
- [110] R. Rezaeipoor, Journal of innovative optical health sciences, 2(04), 387-396, (2009).
- [111] J. Wallyn, Pharmaceutics, 11(11), 601, (2019).
- [112] M. Dolci, Journal of Materials Chemistry C, 6(34), 9102-9110, (2018).
- [113] S. T. Shah, Nanomaterials, 7(10), 306, (2017).
- [114] R. A. Ismail, Material Science and Engineering: C, 53, 286-297, (2015).
- [115] W. Lu, Molecular medicine reports, 9(3), 1080-1084, (2014).
- [116] A. Zengin, Analyst, 138(23), 7238-7245, (2013).
- [117] A. H. Haghighi, Journal of Magnetism and Magnetic Materials, 490, 165479, (2019).
- [65] B. Gaihre, Journal of microencapsulation, 25(1), 21-30, (2008).
- [66] S. Mohapatra, Journal of nanoscience and nanotechnology, 6(3), 823-829, (2006).
- [67] M. Aliakbari, Toxicology in Vitro, 54, 114-122, (2019).
- [68] A. Allahbakhsh, European Polymer Journal, 94, 417-430, (2017).
- [69] M. Yamuara, Journal of Magnetism and Magnetic Materials, 279(2-3), 210-217, (2004).
- [70] M. Khosroshahi, Adv. Nano Bio. M&D 1, 146, (2017).
- [71] A. Ebrahimizadeh, Current Nanoscience, 11(1), 113-119, (2015).
- [72] X. F. Sun, In Advanced Materials Research, 743, 183-188, (2013).
- [73] F. Ahangaran, International Nano Letters, 3(1), 1-5, (2013).
- [74] T. Chen, IOP Conference Series: Earth and Environmental Science, 108, 042097, (2018).
- [75] Z. Xiong, New Journal of Chemistry, 40(12), 9951-9957, (2016).
- [76] C. Hui, Nanoscale, 3(2), 701-705, (2011).
- [77] M. Tohidian, Journal of Macromolecular Science, Part B, 54(1), 17-31, (2015).
- [78] A. H. Haghighi, Journal of Macromolecular Science, Part B, 56(6), 383-394, (2017).
- [79] H. Ding, Chemistry of Materials, 24(23), 4572-4580, (2012).
- [80] Y. He, Journal of Physics D: Applied Physics, 38(9), 1342, (2005).
- [81] S. jo, Biomaterials, 21(6), 605-616, (2000).
- [82] F. Ye, Contrast media & molecular imaging, 7(5), 460-468, (2012).
- [83] N. Gharehaghayi, Studies in Medical Sciences, 30(8), 597-608, (2019).
- [84] R. K. Singh, Journal of biomedical materials research Part A, 100(7), 1734-1742, (2012).
- [85] C. Xu, Advanced drug delivery reviews, 65(5), 732-743, (2013).
- [86] H. Chen, Sensors and Actuators B: Chemical, 212, 505-511, (2015).
- [87] C. Li, Advanced functional materials, 24(12), 1772-1780, (2014).
- [88] A. Mahmood, Desalination and Water Treatment, 57(42), 20069-20075.
- [89] J. Li, Biomaterials, 38, 10-21, (2015).
- [90] S. Silva, Chemical communications, 52(48), 7528-7540, (2016).

- [118] A. H. Haghghi, *Heliyon*, 6(4), e03677, (2020).
- [119] Y. Yang, *Journal of controlled release*, 127(3), 273-279, (2008).
- [120] L. U. Yan-Min, *Letters in Biotechnology*, 05, (2013).
- [121] Y. Wang, *Theranostics*, 3(8), 544, (2013).
- [122] R. Riahi, *Current Opinion in Chemical Engineering*, 7, 101-112, (2015).
- [123] S. Laurent, *Chemical reviews*, 108(6), 2064-2110, (2008).
- [124] B. Chen, *Theranostics*, 7(3), 538, (2017).
- [125] R. A. Kader, *AIP Conference Proceedings* (Vol. 1885, No. 1, p. 0201136), (2017).
- [126] C. Fan, *International journal of pharmaceutics*, 404(1-2), 180-190, (2011).
- [127] B. Jang, *Quantitative imaging in medicine and surgery*, 2(1), 1, (2012).
- [128] L. A. Thomas, *Journal of Materials Chemistry*, 19(36), 6529-6535, (2009).
- [129] P. Moroz, *Journal of surgical oncology*, 77(4), 259-269, (2001).
- [130] E. Kita, *Journal of physics D: Applied physics*, 43(47), 474011, (2010).
- [131] T. Liu, *Progress in Chemistry*, 27(5), 601, (2015).
- [132] C. Yue-Jian, *Drug development and industrial pharmacy*, 36(10), 1235-1244, (2010).



A review on the properties of the Iron Oxide nanoparticles coated with different materials used in biomedical applications

Amir Hossein Haghghi^{1*}, Sara Taherinezhad², Zahra Babaei³

¹Department of Polymer Engineering, Shiraz Branch, Islamic Azad University, Shiraz, Iran

²Department of Chemical and Polymer Engineering, Yazd University, Yazd, Iran

³Department of Polymer Engineering, Amirkabir University of Technology, Tehran, Iran

Abstract

As a consequence of special properties such as superparamagnetic behavior, low toxicity, biocompatibility, numerous ways of synthesis and surface modification capability with diverse materials, nowadays Iron Oxide nanoparticles (IONPs) are widely utilized in a great deal of scientific fields, as well as biomedicine. However, agglomerations formation and broad particle size distribution, beside rapid oxidation are still a challenge of these nano-sized particles. In this regard, several routes of synthesis and many chemicals in order to modify IONPs surface have been proposed so as to enhance their properties and increase their potency. Therefore, in this research based on previous articles and studies, the benefits and the drawbacks of various routes of iron oxide nanoparticles synthesis, surface modification of the produced nanoparticles with different components, the applications of the modified nanoparticles along with the leading challenges are discussed. In addition, suggestions offered by other biomedical researchers and scientists to intensify their performance and their effectiveness in-vitro and in-vivo are stated in the following.

Keywords: Iron Oxide magnetic nanoparticles, Coatings, Iron Oxide nanoparticles Properties, Biomedicine